

(19) 日本国特許庁(JP)

## (12) 特許公報(B2)

(11) 特許番号

特許第4593783号  
(P4593783)

(45) 発行日 平成22年12月8日(2010.12.8)

(24) 登録日 平成22年9月24日(2010.9.24)

(51) Int.Cl.	F 1
C 07 K 16/10	(2006.01)
C 12 N 15/09	(2006.01)
C 12 N 1/15	(2006.01)
C 12 N 1/19	(2006.01)
C 12 N 1/21	(2006.01)
	C 07 K 16/10
	C 12 N 15/00
	C 12 N 1/15
	C 12 N 1/19
	C 12 N 1/21

請求項の数 12 (全 32 頁) 最終頁に続く

(21) 出願番号	特願2000-561222 (P2000-561222)
(86) (22) 出願日	平成11年7月20日 (1999.7.20)
(65) 公表番号	特表2002-521391 (P2002-521391A)
(43) 公表日	平成14年7月16日 (2002.7.16)
(86) 国際出願番号	PCT/EP1999/005173
(87) 国際公開番号	W02000/005266
(87) 国際公開日	平成12年2月3日 (2000.2.3)
審査請求日	平成18年6月13日 (2006.6.13)
(31) 優先権主張番号	98113595.7
(32) 優先日	平成10年7月21日 (1998.7.21)
(33) 優先権主張国	欧洲特許庁 (EP)

前置審査

(73) 特許権者 504053139  
 ゲンマブ・アクティーゼルスカブ  
 G e n m a b A / S  
 デンマーク、デコーー 1 2 5 3 コペンハ  
 ーゲン・コー、トールズボズギャーゼ 3 3  
 番

(54) 【発明の名称】抗C型肝炎ウイルス抗体およびその使用

最終頁に続く

## (57) 【特許請求の範囲】

## 【請求項 1】

C型肝炎ウイルス糖タンパク質E2のコンホメーション依存性エピトープを特異的に認識し、共有的または非共有的に会合したE2/E1複合体を沈殿させることができる、図6 (V<sub>H</sub>) (配列番号3)に示されるDNA配列によってコードされるアミノ酸配列を含むヒト抗体のV<sub>H</sub>領域の相補性決定領域(CDR)および図5 (V<sub>L</sub>) (配列番号1)に示されるDNA配列によってコードされるアミノ酸配列を含むヒト抗体のV<sub>L</sub>領域のCDRを少なくとも含む抗体。

## 【請求項 2】

該抗体が、モノクローナル抗体、ポリクローナル抗体、キメラ抗体、ヒト化抗体、合成抗体、抗体断片、またはその化学的に修飾された誘導体である、請求項1記載の抗体。

10

## 【請求項 3】

配列番号4に記載のV<sub>H</sub>領域および配列番号2または6に記載のV<sub>L</sub>領域のアミノ酸配列を含んでなる、請求項1または2記載の抗体。

## 【請求項 4】

請求項1～3のいずれかに記載の抗体の免疫グロブリン鎖の少なくとも1つの可変領域をコードするポリヌクレオチド。

## 【請求項 5】

請求項4記載のポリヌクレオチドを含んでなるベクターであって、場合により該抗体の他の免疫グロブリン鎖の可変領域をコードする請求項4記載のポリヌクレオチドと組み合

20

わせて含んでなるベクター。

【請求項 6】

請求項4記載のポリヌクレオチドまたは請求項5記載のベクターを含んでなる宿主細胞。  
。

【請求項 7】

C型肝炎ウイルス糖タンパク質E2のコンホメーション依存性エピトープを認識することが可能な抗体またはその機能的断片もしくは免疫グロブリン鎖(群)の製造方法であつて、

(a) 請求項6記載のいずれかの細胞を培養すること、および

(b) 該抗体またはその機能的断片もしくは免疫グロブリン鎖(群)を培養細胞から単離すること

を含んでなる方法。

【請求項 8】

請求項4記載のポリヌクレオチドによってコードされるまたは請求項7記載の方法によつて得ることが可能な抗体またはその断片。

【請求項 9】

請求項1～3のいずれかに記載の抗体、請求項4記載のポリヌクレオチド、請求項5記載のベクターまたは請求項6記載の細胞、および場合により免疫診断方法において慣用的に用いられる適当な試薬を含有する診断用組成物。

【請求項 10】

C型肝炎ウイルス糖タンパク質E2の存在に関するインビトロ免疫アッセイであつて、該C型肝炎ウイルス糖タンパク質E2の、請求項1～3または8のいずれかに記載の抗体との共沈殿を非還元的条件下で測定することによって特徴付けられるインビトロ免疫アッセイ。

【請求項 11】

被検体におけるHCV感染の処置もしくは予防のためのまたはHCV感染の再発防止のための医薬組成物の製造のための、請求項1～3または8のいずれかに記載の抗体、請求項4記載のポリヌクレオチド、請求項5記載のベクターまたは請求項6記載の細胞の使用。

【請求項 12】

該医薬組成物が肝臓移植前、肝臓移植中または肝臓移植後に投与されるように設計されている、請求項11に記載の使用。

【発明の詳細な説明】

【0001】

発明の属する技術分野

本発明はC型肝炎ウイルス(HCV)糖タンパク質E2のコンホメーション依存性エピトープに特異的に結合できるヒト抗体およびその種々の用途に関する。

本明細書では幾つかの文献を引用している。ここに引用している文献(製造元仕様書、指示書等を含む)はそれぞれ、引用により本明細書に包含される。しかし、これら引用する文献が本発明に対する先行文献であると表明するものではない。

【0002】

発明の背景

C型肝炎ウイルス(HCV)は非A非B肝炎の主たる病因である。供血者におけるHCV感染の罹患率は0.4から2%と算定されている(Chooら、1989)。急性HCV感染は70%以上の患者において、硬変症および肝細胞癌に進展させかねない慢性肝炎を発症させる(Saitoら、1990)。HCVはラビウイルス科に分類されるエンベロープを有するプラス鎖RNAウイルスである(Franckiら、1991, Millerら、1990)。HCVは3010から3033アミノ酸のポリタンパク質をコードする約9500ヌクレオチドのゲノムを含有する。宿主およびウイルスプロテアーゼによるこのポリタンパク質のプロセッシングにより、構造タンパク質および非構造(NS)タンパク質が産生される(Riceら、1996)

10

20

30

40

50

。構造タンパク質にはヌクレオキアプシドと2つの推定ビリオンエンベロープ糖タンパク質E 1およびE 2がある(Miyamuraら、1993)。非構造タンパク質にはNS 2からNS 5までの抗原がある。

### 【0003】

急性感染が成功裏に治癒する患者も存在し、そのことはHCVが宿主の免疫系によって制御可能であることを示している。宿主がHCV感染に打ち勝つ機序は依然不明である。これまでの報告では、ヒトおよびチンパンジーはウイルス中和抗体を産生できることが強く示されている(Chooら、1994, Farciら、1994, 1996, Shimizuら、1994)。組換えE 1およびE 2タンパク質によってチンパンジーを免疫することで、均質なHCV分離株による一次感染の予防がインビボにおいて成功をおさめている(Chooら、1994)。この研究では、抗E 2抗体の高い力値を示すチンパンジーのみが予防された。中和性抗原ドメインは同定されなかったが、中和抗体の誘導には免疫原の構造が重要であると推論されている。

### 【0004】

現在までのところC型肝炎ウイルスを増殖させる効率的なインビトロ複製系が存在せず、中和検定法を開発できないため、抗E 1/E 2抗体の生物学的機能を評価する検定法がその替りとして活発に調べられている。感受性細胞と推定されるものに対するウイルス付着を防止することが予備的研究として開示された(Shimizuら、1994, Zibertら、1995)。

より最近になって、高度に精製されたE 2タンパク質の感受性標的細胞に対する特異的結合性を利用する「インビトロ」結合中和(neutralization of binding, NOB)検定法が開発された(Rosaら、1996)。この検定法では、このような細胞に対するE 2の結合を中和できるNOB抗体を定量的に評価することができる。この系を利用し、RosaらはE 1およびE 2タンパク質によって免疫されて高い抗NOB力値を示すチンパンジーのみが感染チャレンジに対して予防的であることを示したが(Rosaら、1996)、このことはNOB活性がウイルス感染の「インビボ」中和の指標となり得ることを示している。HIV感染では、同様のモデルによって最近、エンベロープの糖タンパク質オリゴマーと結合する抗体の親和性がウイルス中和を予知する良好なものであることが示された(Foutsら、1997)。

抗E 1および/または抗E 2抗体の生物活性を評価する別の方法として、これらの抗体がビリオン表面に存在すると考えられる天然の構造を認識できるか試験することができる。インビトロ試験により、E 1およびE 2が相互作用し、非共有的に結合した複合体を形成することが示された(Deleersnyderら、1997, Ralstonら、1993)。この複合体はHCVビリオンの機能的サブユニットであると提示されている(Deleersnyderら、1997, Dubuissonら、1994, DubuissonおよびRice、1996, Ralstonら、1993)。ウイルス感染におけるB細胞レパートリーを調べることは、ウイルス感染に絡む病因論を理解するうえで重要である。ヒトモノクローナル抗体はそうするための代替法を提供する。HCVの場合、限られた数ではあるがウイルス抗原に対するヒトモノクローナル抗体の単離および特性化が報告されている。ウイルス抗原にはヌクレオキアプシド、NS 3およびNS 4タンパク質(Akatsukaら、1993, Cerinoら、1991, 1993, Chanら、1996, Mondelliら、1994)があり、より最近のものとして糖タンパク質E 2(Chanら、1996)が挙げられる。後者の場合、その著者はファージ・ディスプレー法(phage display technology)を抗E 2免疫反応をスクリーニングするための合成ペプチドとともに使用することで、E 2配列を認識する特異的IgG 1本鎖Fvを入手することができた。特異的な鎖状のエピトープ配列が同定されたが、抗E 2抗体の生物活性は明らかに記載されておらず、感染の制御あるいは進行におけるこの抗体の推定的な役割は未確定のままである。最近、WO97/40176により、HCV E 2抗原と特異的に結合できる、コンビナトリアル・ライブラリーから入手された免疫グロブリン分子が開示された。この免疫グロブリンのFab断片は結合中和検定法において結合活性を有することが示されたが、組換え的に発現されるFabクローンおよび対応する全IgG分子はHCV E 2ポリペプチドとの結合中和に陰性であることが見出された。

### 【0005】

発明の概要

10

20

30

40

50

本発明は、HCV糖タンパク質E2のコンホメーション依存性エピトープを特異的に認識できるヒト抗体の可変ドメインにおける少なくとも1つの相補性決定領域(CDR)を含む新規な抗体に関する。さらに、本発明はこの抗体によって認識される抗原に関する。さらに本発明は、本発明の抗体または抗原をコードするポリヌクレオチド、該ポリヌクレオチドを含有するベクター、および該ポリヌクレオチドまたはベクターを含有する細胞に関する。本発明のさらなる態様は、HCV糖タンパク質E2のコンホメーション依存性エピトープを認識でき、かつ感受性細胞に対するE2タンパク質の結合を中和できる抗体の調製方法に関する。本発明はまた、本発明の抗体、抗原、ポリヌクレオチド、ベクターまたは細胞を含有する医薬および診断用組成物、および種々の治療的および診断的応用におけるこれら本発明化合物の使用に関する。

10

#### 【0006】

##### 発明の詳しい説明

このように、本発明の技術的課題は、ヒトにおけるHCV感染の処置および予防(阻止)のための手段および方法を提供することである。

この技術的課題は、特許請求の範囲にて特徴付けられる態様により解決される、即ち、本発明は1)コンホメーション依存性決定基(群)を認識し、2)種々のHCV遺伝子型から誘導される抗原を認識でき、および3)ビリオン粒子の表面に存在すると考えられる非共有的に会合しているE1E2複合体を沈降できる抗体を提供し、そして4)感受性細胞に対するE2タンパク質の結合を中和できる抗体を提供するものであり、これは本発明抗体がインビボ中和に利用できる可能性を示している。本発明の抗体は、HCVのような高度に変異しやすいものによる感染症と闘ううえで治療的または予防的戦略を展開するのに特に有用である。

20

#### 【0007】

従って、本発明は、C型肝炎ウイルス糖タンパク質E2のコンホメーション依存性エピトープを特異的に認識しつつ共有または非共有的に会合しているE2/E1複合体を沈降できる、図5(V<sub>L</sub>)(配列番号1)および図6(V<sub>H</sub>)(配列番号3)に示されるDNA配列にコードされるアミノ酸配列を含むヒト抗体のV<sub>H</sub>および/またはV<sub>L</sub>領域における少なくとも1つ(好ましくは2つ、より好ましくは3つ、4つまたは5つであり、最も好ましくは6つ)の相補性決定領域(CDR)を含む抗体に関する。あるいは、および/または、さらに、本発明の抗体は、配列番号6のアミノ酸配列を含み配列番号5に示すDNA配列によってコードされる、配列番号1のDNA配列をコードするV<sub>L</sub>のアレル変異体(図5)であるヒト免疫グロブリン鎖のV<sub>L</sub>領域における少なくとも1つ、2つまたは3つのCDRを含んでいる。

30

#### 【0008】

抗体の可変ドメイン(重鎖V<sub>H</sub>および軽鎖V<sub>L</sub>)それぞれが比較的保存された4つのフレームワーク領域、「FR」にランキングされた、相補性決定領域、「CDR」と呼ばれることがある3つの超可変領域を含んでいることは当業者に知られている。本発明抗体の可変領域に含まれるCDRは、Kabat, Sequences of Proteins of Immunological Interest(米国保健社会福祉省(U.S. Department of Health and Human Services), 3版, 1983, 4版, 1987, 5版, 1990)に従って決定することができる。上記可変ドメインを有する抗体の可変ドメインが所望の特異性および生物学的機能を有する他のポリペプチドまたは抗体の構築に使用できることは、当業者ならば容易に理解される。従って、本発明は、上記可変ドメインの少なくとも1つのCDRを含み、かつ以下の実施例に記載する抗体と実質的に同じまたは同様の結合特性を好都合にも有しているポリペプチドおよび抗体をも包含する。上記の可変ドメインまたはCDRを使用すれば、例えばEP-A10451216およびEP-A10549581に記載されているような当業界に既知の方法に従って抗体を構築できることは、当業者ならば容易に理解される。

40

#### 【0009】

「C型肝炎ウイルス糖タンパク質E2のコンホメーション依存性エピトープ」なる用語は、本発明抗体によって認識されるエピトープの非鎖状という性質を規定するものである。

50

これは、エピトープの抗原決定基が、HCV糖タンパク質E2のアミノ酸配列ではなく、その三次元構造に由来することを意味する。

【0010】

「共有または非共有的に会合しているE2/E1複合体を沈降できる」なる用語とは、ビリオン粒子に存在していると考えられるE1およびE2の非共有的に会合している複合体を本発明抗体が沈降できることを意味する。

【0011】

「感受性細胞に対するE2タンパク質の結合を中和できる」なる用語は、HCV感染を受けやすい細胞に対する高度に精製されたE2の結合を候補抗体が中和（結合の中和またはNOB）できることを意味する（実施例4を参照）。好都合には、本発明抗体は約1μg/mlの濃度でNOB活性を有し、好ましくは約0.1μg/ml、最も好ましくは約0.03μg/mlの濃度でNOB活性を有する。

10

【0012】

本発明では、細胞に直接発現されたE2を認識できる抗E2抗体を特異的に検出できる、抗原を精製する必要のないスクリーニング検定法を使用することで、コンホメーション依存性決定基に対する抗体を同定し精製した。この検定法は遺伝子型1a誘導化抗原の発現を基礎としており、従って交叉反応性の抗E2抗体およびエピトープの特徴付けも行うことができる。この手法により、HCVに慢性的に感染された2人の患者から抗E2抗体を產生する2つのクローニング入手した。第1のクローニング（クローニング503）は遺伝子型4単離株に感染された患者（患者1）から入手し、第2のクローニング（クローニング108）は遺伝子型1b単離株に感染された第2の患者（患者2）から誘導した。本発明HMabはさらに遺伝子型1b抗原に対しても良好な反応性を示すことが示され、このことは、これらの抗体が標的としている決定基（群）が世界中に蔓延している主要な少なくとも2つのウイルスサブタイプ（サブタイプ1aおよび1b）間に保存されていることを物語っている。このことから、本発明の抗体は、2、3a、4, 5および/または6などの他の遺伝子型の抗原とも反応できると合理的に予測することができる。これらの遺伝子型に関連する本発明抗体の結合活性は実施例に記載する方法に従って容易に試験することができる。

20

【0013】

鎖状の決定基はペプチドスキャンニング法、ウエスターントロッティング法、およびタンパク質の発現された断頭ドメインを利用する免疫蛍光分析法などの種々のスクリーニング手法では同定できないため、本発明に従って得られた結果は、本発明のHMabが認識する決定基がE2のコンホメーション依存性ドメインに標的化されていることを示している。実施例2参照。他方、還元または非還元条件下にて行った免疫沈降法は、本発明のHMabがコンホメーション依存性決定基を認識することを示した。非還元条件下では、これら本発明抗体は共有的および非共有的に会合しているE1E2複合体を沈降させた。実施例3.2参照。後者の場合、ビリオン粒子に組込まれた機能的サブユニットであると考えられる（Deleersnyderら、1997）。具体的には、エピトープ形成の動力学的分析によって得られたデータは2つのHMabがE2タンパク質における明らかに早期に折り畳まれるドメインを認識することを強く示している。このようなドメインは、タンパク質がさらに成熟し、ビリオン表面に存在しやすいE2形態の最終的なコンホメーション特性をとるまで、影響を受けやすい状態を保持する。この動力学的分析はNOBデータ（即ち、抗体503がNOB活性を示すこと）と相俟って、本発明の2つの抗体が異なる決定基を認識することを示している。実施例4参照。あるいは、E2タンパク質に対するこれらの抗体の親和性が相違している。

30

【0014】

本発明にて得られた最も鼓舞される結果は、本発明HMabのうちの1つが強いNOB活性を示すことが証明されたことである。この観察事項はRosaら（Rosaら、1996）とともに、NOB抗体が認識する決定基（群）が、明らかに種々の遺伝子型間で保存されているE2のコンホメーション依存性ドメインに標的化されているらしいことを示している。このようなドメインは、中和エピトープを含むことが示されている超可変領域1（HVR）と

40

50

は別個のようである。最近の研究では、Zibertら (Zibertら、1997) は、HVRに見出される非-コンホメーション構造に対する抗体の初期出現と急性の自己限定期感染症とを関連付けることができた。この研究の結果は、E2の鎖状決定基に対する抗体の存在と、HCV感染制御におけるその役割との重要性を示しており、この観察事項はFarciらのチンパンジーモデルにて最初に行われた研究 (Farciら、1996) と符合している。この後者の研究の著者は、充分に特徴付けられた接種原の感染力を中和できる抗体を含む、HVR由来のペプチドに対する超免疫血清を作製した。同様の実験はShimizuらによっても行われた (Shimizuら、1996)。このように、すべての研究は、HCVの中和は大方、可変性の非保存性エピトープが関与するタイプ特異的であることを強く示している。それにもかかわらず、最近の観察事項により、HVRに対するものでない、交叉反応性の他の中和決定基の存在が示唆され始めた。Chooらによるワクチン接種実験では、誘導された中和抗体はE2のHVRに指向せず、明らかにその抗原が有する他の決定基に指向していた (Chooら、1994)。最近、Abrignaniは慢性感染の自発的解消と高い抗NOB抗体力値とが相関することを観察した (Abrignani 1997)。以下の実施例に示す患者では、E2結合における高度なまたは測定可能な中和は遺伝子型1a単離株に感染された患者由来の血清に限定されず、このことは本明細書に開示しているような交叉反応性のエピトープの存在を示唆するものである。精製MAbのNOB力値と患者血清中に見出される力値 (本発明者らの研究における両患者は > 1 : 1000 という類似のNOB血清力値を有していた) との直接的相関性を見出すのは困難であるので、抗体503が極く低濃度 (0.03 μg/ml) で検出可能なNOB活性を有し、強力な活性を示したのは予想外であった。実施例4参照。

#### 【0015】

本発明に従って調製されるHMAbはHCV糖タンパク質の生物発生学、折り畳みおよび組み立て (アッセンブリー) に関するさらなる研究、およびビリオン構造と推定細胞表面レセプターの特徴付けを行う有用な手段になると期待される。Ab503に例示される本発明抗体はNOB活性を有するものとしてこれまで開示されている初めてのHMAbであるので、本発明抗体は受動免疫の研究に特に有用である。レンチウイルス科の場合、抗体注入研究により、制御における中和抗体投与の有益な役割と種々の動物モデルにおける感染予防さえもが証明されている (Conleyら、1996, Eminiら、1992, Putkonenら、1991)。

。

#### 【0016】

本発明の好ましい態様では、抗体はHCV E2糖タンパク質と特異的に結合するモノクローナル抗体、ポリクローナル抗体、一本鎖抗体、ヒト化抗体、または二特異性抗体、合成抗体、Fab、FvもしくはscFv断片などの抗体断片などのそれらの断片、あるいはこれらの化学的に修飾された誘導体である。モノクローナル抗体は例えば、当業界にて開発された修飾物によって免疫した哺乳動物由来の脾臓細胞をマウス骨髄腫細胞と融合させることを包含する、KohlerおよびMilstein, *Nature* 256(1975), 495およびGalfre, Met h. *Enzymol.* 73 (1981), 3に最初に開示された手法によって調製することができる。さらに、上記のエピトープに対する抗体またはその断片は、例えばHarlowおよびLane "Antibodies, A Laboratory Manual", CSH Press, コールド・スプリング・ハーバー, 1988に記載されている方法によって入手することができる。上記抗体の誘導体をファージ・ディスプレー法により入手する場合、BIAcore系に使用されるような表面プラスモン共鳴を利用し、コンホメーション依存性HCV糖タンパク質E2エピトープのエピトープと結合するファージ抗体の効率を高めることができる (Schier, *Human Antibodies Hybridomas* 7 (1996), 97-105; Malmborg, *J. Immunol. Methods* 183 (1995), 7-13)。キメラ抗体の生産方法は例えば、W089/09622に記載されている。ヒト化抗体の生産方法は例えば、EP-A10 239 400およびW090/07861に記載されている。本発明にて利用される抗体のさらなる供給源はいわゆる異種抗体である。マウスにおけるヒト抗体生産のような異種抗体の生産の一般原則は、例えばW091/10741、W094/02602、W096/34096およびW096/33735に記載されている。上記のように、本発明の抗体は完全な抗体のほかに種々の形態で存在すること

10

20

30

40

50

ができ、例えば F<sub>v</sub>、F<sub>a b</sub> および F<sub>(a b)</sub>2、そして一本鎖形態である；例えば WO88/09344 を参照。1つの特異性が H C V E 2 糖タンパク質エピトープに指向し他の特異性が好ましくは C D 3 などの T 細胞抗原に指向している二特異性抗体の場合、ウイルスエピトープを認識する結合部位の親和性は高いと有益であり、そうであれば H C V で感染された標的細胞またはウイルスを捕捉し、高効率で破壊することができる。他方、例えば T 細胞を認識する結合部位の結合親和性は天然の T 細胞レセプター / リガンド相互作用の程度、あるいは T 細胞同時刺激分子とそのレセプターとの相互作用に通常見出される程度であるべきである。

## 【 0017 】

本発明の抗体またはその対応する免疫グロブリン鎖（群）は、当業者に既知の通常の手法<sup>10</sup>、例えばアミノ酸の欠失、挿入、置換、付加および / または組換えおよび / または当業者に既知の他の修飾を単独であるいはそれらを組み合わせることにより、さらに修飾することができる。免疫グロブリン鎖のアミノ酸配列を基礎付ける D N A 配列にこのような修飾を導入する方法は当業界にて周知である。例えば、Sambrook, Molecular Cloning A Laboratory Manual, Cold Spring Harbor Laboratory (1989) N.Y. を参照。

## 【 0018 】

特に好ましい態様では、本発明の抗体は図 5 および 6 にそれぞれ示す V<sub>H</sub> および / または V<sub>L</sub> 領域のアミノ酸配列を含有する。

## 【 0019 】

さらなる態様では、本発明は本発明抗体によって認識される抗原またはそのエピトープに関する。この抗原またはエピトープはグリコシル化されていても、されていなくてもよく<sup>20</sup>、または部分的にグリコシル化されていてもよい。ここに説明し実施例にて示しているように、本発明の特徴は、上記抗体によって認識される新規な抗原である。本発明の抗原およびエピトープを同定し単離するためには、例えば種々の c D N A を卵母細胞に注入して c D N A ライブラリーをスクリーニングするに当たり、c D N A 遺伝子産物が発現される充分な時間をかけ、所望の c D N A 発現産物の存在を例えば本発明抗体を用いて試験すればよい。

## 【 0020 】

あるいは、大腸菌での c D N A 発現ライブラリーを本発明抗体を用いて本発明の少なくとも 1 つのエピトープを有するペプチドに関して間接的にスクリーニングしてもよい (Chang<sup>30</sup> および Gottlieb, J. Neurosci., 8:2123, 1988)。このような抗原の構造が見出されれば、結合パートナーおよび / またはドメインを合理的にデザインすることが可能となる。例えば、適当なコンピュータープログラムを用い、折り畳みシミュレーションや構造モチーフのコンピューターリデザインを行うことができる (Olszewski, Proteins 25(1996), 286-299; Hoffman, Comput. Appl. Biosci. 11(1995), 675-679)。さらに、コンピューターを使用すれば、詳細なタンパク質モデルのコンホメーションおよびエネルギー分析を行うことができる (Monge, J. Mol. Biol. 247(1995), 995-1012; Renouf, Adv. Exp. Med. Biol. 376(1995), 37-45)。

## 【 0021 】

別の態様として、本発明は、本発明にかかる上記抗体の免疫グロブリン鎖における少なくとも可変領域をコードしているポリヌクレオチドに関する。免疫グロブリンの一形態では、抗体の基本構造単位を構成する。この形態はテトラマーであり、それぞれの対（ペアーノ）が 1 つの軽鎖と 1 つの重鎖を有している、免疫グロブリン鎖の 2 つの同一の対から構成される。対それぞれは、軽鎖および重鎖の可変領域またはドメインが共同して抗原との結合性を担い、定常領域は抗原エフェクター機能に関与する。抗体に加え、免疫グロブリンは、例えば F<sub>v</sub>、F<sub>a b</sub> および F<sub>(a b')</sub>2、および一本鎖抗体（例えば Huston, Proc. Nat. Acad. Sci. USA 85(1988), 5879-5883 および Nird, Science 242(1988), 423-426）などの種々の他の形態（所望の活性を保持する完全長よりも短いものなど）で存在することができる（上記参照）。免疫グロブリン軽鎖または重鎖可変ドメインは、C D R とも呼ばれる 3 つの超可変領域が介入する「フレームワーク」領域から構成される。<sup>40</sup>

## 【0022】

本発明の抗体は、本発明抗体の重鎖および軽鎖免疫グロブリン鎖をコードする組換えDNAセグメントを単独または組み合わせて発現させることにより、調製することができる

## 【0023】

上記抗体をコードするポリヌクレオチドは例えば、DNA、cDNA、RNAまたは合成DNAもしくはRNA、またはこれらポリヌクレオチドを単独または組み合わせて含有する組換え的に調製されるキメラ核酸分子であることができる。好ましくは、ベクターの一部である。このようなベクターはさらに、適当な宿主細胞での適当な条件下における該ベクターの選択を可能とするマーカー遺伝子などのさらなる遺伝子を含有することができる。好ましくは、本発明のポリヌクレオチドは、原核または真核生物細胞での発現を可能とする発現制御配列と作動可能に結合している。このようなポリヌクレオチドの発現にはポリヌクレオチドの翻訳可能なmRNAへの転写が含まれる。真核生物細胞、好ましくは哺乳動物細胞にて発現させるための調節因子は当業界にて周知である。これは通常、転写を開始させる調節配列を含み、さらに要すれば転写を終止させて転写体を安定にするポリAシグナルを含む。さらなる調節因子として、転写および翻訳エンハンサーおよび/または天然にて関連しているかまたは異種であるプロモーター領域が挙げられる。この場合、当業者ならば、軽鎖および/または重鎖の少なくとも可変ドメインをコードするポリヌクレオチドが両免疫グロブリン鎖またはその一方のみの可変ドメインをコードすることができることは容易に理解されるよう。同様に、上記ポリヌクレオチドは同じプロモーターの制御下に置くことができ、あるいは発現に関して別々に制御してもよい。原核生物宿主細胞での発現を可能とする可能性ある調節因子は、例えば大腸菌におけるPL、lac、trpまたはtacプロモーターを含有し、また真核生物宿主細胞での発現を可能とする調節因子には例えば、酵母におけるAOX1またはGAL1プロモーター、または哺乳動物および他の動物細胞におけるCMV-、SV40-、RSV-プロモーター（ラウス肉腫ウイルス）、CMV-エンハンサー、SV40-エンハンサーまたはグロビンイントロンがある。転写開始に関する因子のほか、このような調節因子はSV40-ポリA部位またはtk-ポリA部位、ポリヌクレオチドの下流領域などの転写終止シグナルも含有することができる。さらに、使用する発現系に応じて、ポリペプチドを細胞コンパートメントに導く、または培地に分泌させることのできるリーダー配列を本発明のポリヌクレオチドのコード配列に付加することができ、それらは当業界にて周知である。リーダー配列は翻訳、開始および終止配列とともに適当な段階にて組み立てられ、好ましくは翻訳されたタンパク質またはその部分を細胞膜周辺腔または細胞外培地に分泌させることのできるリーダー配列である。要すれば、この異種配列は、所望の特性、例えば発現される組換え産物の安定性または精製を単純化できる性質を付与するC-またはN-末端同定ペプチドを含む融合タンパク質をコードすることができる。この意味における適当な発現ベクターは当業者に既知であり、例えばOkayama-Berg cDNA発現ベクターpCDV1（ファルマシア）、pCDM8、pRC/CMV、pCDNA1、pCDNA3（In-vitrogen）、またはpSPORT1（GIBCO BRL）などがある。

## 【0024】

好ましくは、真核生物宿主細胞を形質転換またはトランスフェクトできるベクターにおける真核生物プロモーター系が発現制御配列であるが、原核生物宿主の制御配列も使用することができる。ベクターを適当な宿主に導入すれば、得られた宿主をヌクレオチド配列の高発現レベルに適した条件下に維持し、次いで所望であれば、免疫グロブリンの軽鎖、重鎖、軽/重鎖ダイマーまたは無傷の抗体、結合性断片または他の免疫グロブリン形態の捕集および精製を行うことができる。Beychok, Cells of Immunoglobulin Synthesis, Academic press, N.Y. (1979)を参照。また例えば以下の実施例も参照。

## 【0025】

上記のように、本発明のポリヌクレオチドは、例えば遺伝子治療またはHCV感染に関連する疾患の診断に、単独にてまたは本発明の（ポリ）ペプチドを細胞にて発現するベクターの一部として使用することができる。本発明のポリヌクレオチドまたはベクターを細胞

10

20

30

40

50

に導入し、次いで抗体を産生させる。遺伝子治療は治療遺伝子を *ex - vivo* またはインビオ法によって細胞に導入することを基礎としているが、これは遺伝子導入における最も重要な適用の 1 つである。インビトロまたはインビオ遺伝子治療のために適当なベクターおよび方法は文献に記載されており、当業者に既知である。例えば Giordano, *Nature Medicine* 2 (1996), 534-539; Schaper, *Circ. Res.* 79 (1996), 911-919; Anderson, *Science* 256 (1992), 808-813; Isner, *Lancet* 348 (1996), 370-374; Muhlhäuser, *Circ. Res.* 77 (1995), 1077-1086; Wang, *Nature Medicine* 2 (1996), 714-716; WO94/29469; WO97/00957 または Schaper, *Current Opinion in Biotechnology* 7 (1996), 635-640 およびそれらに引用される文献を参照のこと。本発明のポリヌクレオチドおよびベクターは直接導入またはリポソームを介する細胞への導入用に、またはウイルスベクター（例えばアデノウイルス、レトロウイルス）に改作することができる。好ましくは、このような細胞は生殖細胞系列、胚細胞、または卵細胞もしくはそれらの誘導体であり、最も好ましくは幹細胞である。

#### 【 0 0 2 6 】

さらに本発明は、遺伝子工学において慣用的に用いられるベクター、特にプラスミド、コスミド、ウイルスおよびバクテリオファージであって、本発明抗体の免疫グロブリン鎖の可変ドメインをコードするポリヌクレオチドを、場合により、本発明抗体の他の免疫グロブリン鎖の可変ドメインをコードする本発明のポリヌクレオチドと組み合わせて含むものに関する。好ましくは、該ベクターは発現ベクターおよび / または遺伝子転移または標的化ベクターである。レトロウイルス、ワクシニアウイルス、アデノ関連ウイルス、ヘルペスウイルスまたはウシパピローマウイルスのようなウイルス由来の発現ベクターを、本発明のポリヌクレオチドまたはベクターの標的細胞集団内へのデリバリー用に用いてよい。当業者に周知である方法を用いて、組換えウイルスベクターを構築できる；例えば、Sambrook, *Molecular Cloning A Laboratory Manual*, Cold Spring Harbor Laboratory (1989) N.Y. および Ausubel, *Current Protocols in Molecular Biology*, Green Publishing Associates and Wiley Interscience, N.Y. (1989) に記載される技術を参照のこと。

#### 【 0 0 2 7 】

別法として、本発明のポリヌクレオチドおよびベクターを、標的細胞へのデリバリー用にリポソーム中へ再構成できる。細胞性宿主のタイプに応じて異なる周知の方法により、本発明のポリヌクレオチド（例えば、免疫グロブリン鎖の重および / または軽可変ドメイン（群）をコードする配列および発現コントロール配列）を含むベクターを宿主細胞内へ輸送できる。例えば、原核生物細胞に対しては一般に、塩化カルシウムトランスフェクションを利用するのに対し、他の細胞性宿主に対しては、リン酸カルシウム処理またはエレクトロポレーションを用いることができる；上記 Sambrook を参照のこと。

#### 【 0 0 2 8 】

本発明はさらに、本発明のポリヌクレオチドまたはベクターで形質転換された宿主細胞に関する。このような宿主細胞は原核生物細胞または真核生物細胞であってよい。宿主細胞内に存在する本発明のポリヌクレオチドまたはベクターは宿主細胞のゲノムに組み込まれるか、あるいは染色体外に維持され得る。

#### 【 0 0 2 9 】

宿主細胞は任意の原核生物細胞または真核生物細胞、例えばバクテリア、昆虫、真菌、植物、動物またはヒト細胞であり得る。好ましい真菌細胞は、例えばサッカロミセス (*Saccharomyces*) 属、特に *S. cerevisiae* (*S. cerevisiae*) の細胞である。用語「原核生物」とは、本発明の抗体または対応する免疫グロブリン鎖の発現に関して、DNA または RNA 分子で形質転換またはトランスフェクトできるすべてのバクテリアを含むものとする。原核生物宿主には、グラム陰性菌ならびにグラム陽性菌、例えば大腸菌 (*E. coli*)、ネズミチフス菌 (*S. typhimurium*)、セラチアマルセッセンス (*Serratia marcescens*) および枯草菌 (*Bacillus subtilis*) が含まれ得る。用語「真核生物」とは、酵母、高等植物、昆虫および好ましくは哺乳類細胞を含むものとする。組換え生産手法において用いられる宿主に依存して、本発明のポリヌクレオチドによってコードされる抗体または免疫グ

10

20

30

40

50

ロブリン鎖はグリコシル化されるか、あるいはグリコシル化されないこともある。本発明の抗体または対応する免疫グロブリン鎖はまた、最初のメチオニンアミノ酸残基を含んでいてもよい。本発明のポリヌクレオチドを用い、当業者に対して一般に既知のいずれかの技術を利用して宿主を形質転換またはトランスフェクトできる。さらにまた、融合された、作動可能に連結された遺伝子の製造方法および、例えば哺乳類細胞およびバクテリアにおけるその発現方法は当分野に既知である (Sambrook, Molecular Cloning: A Laboratory Manual, Cold Spring Harbor Laboratory, Cold Spring Harbor, NY, 1989)。ここに記載されている遺伝的構築物および方法を、本発明の抗体または対応する免疫グロブリン鎖を真核生物または原核生物宿主において発現するために用いることができる。概して、挿入されたポリヌクレオチドの効率的な転写を促進するプロモーター配列を含有する発現ベクターが宿主とともに用いられる。この発現ベクターは典型的に、複製起点、プロモーターおよびターミネーター、ならびに形質転換細胞の表現型による選択を提供可能な特定の遺伝子を含む。さらにまた、本発明の(ポリ)ペプチドの大規模生産用に、本発明の細胞を含むトランスジェニック動物、好ましくは哺乳類を用いることができる。

#### 【0030】

したがって、さらなる態様では、本発明は、C型肝炎ウイルス糖タンパク質E2のコンホメーション依存性エピトープを認識できる抗体またはその機能的断片または免疫グロブリン鎖(群)の生産方法であって、

(a) 本発明の細胞を培養し；ならびに、

(b) 該抗体またはその機能的断片または免疫グロブリン鎖(群)を培養物から単離することを含む方法に関する。

#### 【0031】

形質転換細胞を発酵槽において生育させ、当分野に既知の技術にしたがって培養し、最適な細胞発育を達成することができる。発現後、本発明の全抗体、その二量体、個々の軽鎖および重鎖または他の免疫グロブリン形態は、硫酸アンモニウム沈殿、アフィニティーカラム、カラムクロマトグラフィー、ゲル電気泳動などを含む当分野の標準的手順にしたがって精製できる；Scopes, "Protein Purification", Springer-Verlag, N.Y. (1982) を参照のこと。次いで本発明の抗体またはその対応する免疫グロブリン鎖(群)を培養培地、細胞可溶化物または細胞膜フラクションから単離できる。例えば微生物において発現された本発明の抗体または免疫グロブリン鎖の単離および精製は、任意の慣用的方法、例えば調製的クロマトグラフィーによる分離および、例えば本発明の抗体の定常領域に対するモノクローナル抗体またはポリクローナル抗体の使用を含むもののような免疫学的分離によるものであってよい。本発明の抗体を、例えば薬物ターゲティングおよびイメージング適用のために他の部分とさらにカップリングできることが当業者には明らかであろう。このようなカップリングは抗体または抗原の発現後に結合部位に対して化学的に行ってもよいし、あるいはカップリング生成物を本発明の抗体または抗原内にDNAレベルでエンジニアリングしてもよい。次いでDNAを適当な宿主系において発現させ、発現タンパク質を収集し、必要であれば復元する。

#### 【0032】

医薬的用途には、少なくとも約90～95%均質の実質的に純粋な免疫グロブリンが好ましく、98～99%またはそれ以上均質なものが最も好ましい。部分的に、あるいは所望の均質性にまで精製した後、この抗体を治療的(体外的なものを含む)に用いるか、あるいはアッセイ手順の開発および実行において用いることができる。

#### 【0033】

本発明にはまた、本発明の抗体またはその対応する免疫グロブリン鎖(群)の発現能を有する細胞を生産する方法であって、本発明のポリヌクレオチドまたはベクターを用いて細胞を遺伝子的にエンジニアリングすることを含む方法が含まれる。本発明の方法によって得ることができる細胞を用いて、例えば、本発明の抗体とその抗原の相互作用を試験できる。さらにまた、本発明は、本発明のポリヌクレオチドによってコードされるか、あるいは上記方法によって得ることができるか、あるいは上記方法によって生産された細胞由来

10

20

30

40

50

である本発明の抗体またはその断片に関する。本発明の抗体に関しては、典型的に、モノクローナル抗体に基づく治療が可能な実質的に任意の疾患の処置における個別的使用が見出されるであろう。特にこの免疫グロブリンは受動免疫化、または、例えば補体媒介性溶解 (complement mediated lysis) による、HCV または望ましくない細胞または抗原の除去 (これらはすべて、多くの以前の抗体に関連する実質的免疫反応 (例えばアナフィラキシー性ショック) を伴わない) のために用いることができる。本発明の抗体に関して、処置に適当な典型的疾患状態には慢性HCV 感染が含まれる。

【0034】

本発明の抗体、抗原およびエピトープは、例えばHCV 感染患者の治療に用いることができる。このような治療は、例えば本発明の抗体、抗原またはエピトープの投与によって行うことができる。このような投与では、ラベルされていない抗体または抗原ならびにラベルされた抗体または抗原を用いることができる。ラベルされていない抗原またはエピトープを有益に利用できる場合とは、例えば、抗原が免疫応答を刺激するほど大きくないが、結合し、HCV が E2 糖タンパク質を介して標的細胞に結合するのをブロックするのに十分な大きさの断片であるような場合であろう。

【0035】

別法として、本発明の抗体、抗原およびエピトープを治療物質でラベルして投与することができる。これらの物質は直接的あるいは間接的に本発明の抗体または抗原とカップリングさせることができる。間接的なカップリングの一例は、スペーサー部分の使用によるものである。さらに本発明の抗体は、共有結合または非共有結合によって結合しているさらなるドメインを含み得る。この結合は、当分野に既知の方法にしたがう、上記の遺伝子融合に基づくものであってよく、あるいは、例えばWO 94/04686 に記載のような化学的架橋によって行うことができる。本発明の抗体を含む融合タンパク質に存在するさらなるドメインは、好ましくはフレキシブルリンクバー、有益には、該さらなるドメインのC末端と本発明の抗体のN末端、あるいはその逆の間隔にまたがるのに十分な長さの、複数の、親水性の、ペプチド結合したアミノ酸を含むポリペプチドリンクバーによって連結されてもよい。上記融合タンパク質にはさらに、開裂可能なリンクバーまたはプロテアーゼの開裂部位を含ませてもよい。また、これらのスペーサー部分は不溶性または可溶性であってよく (Diener, et al., Science, 231:148, 1986)、標的部位における、抗原からの薬物放出を可能にするように選択可能である。免疫治療のために、本発明の抗体、抗原およびエピトープとカップリングさせることができが可能な治療物質の例には、薬物、放射性同位体、レクチンおよびトキシンがある。本発明の抗体、抗原およびエピトープと共に役させることができが可能な薬物には、伝統的に薬物と称される化合物、例えばマイトイシンC、ダウノルビシンおよびビンプラスチンが含まれる。放射性同位体を共役させた本発明の抗体、抗原またはエピトープを例えば免疫治療に用いる場合、白血球の分布ならびに安定性および放射性のような要因に依存して特定の同位体が他のものより好ましいこともある。自己免疫応答に応じて、いくつかのエミッターが他のものより好ましいこともある。概して、免疫治療には、および粒子を放出する放射性同位体が好ましい。好ましいのは、短期間の高エネルギーのエミッター、例えば<sup>212</sup>Bi である。治療目的で、本発明の抗体、抗原またはエピトープに結合させることができる放射性同位体の例には、<sup>125</sup>I、<sup>131</sup>I、<sup>90</sup>Y、<sup>67</sup>Cu、<sup>212</sup>Bi、<sup>212</sup>At、<sup>211</sup>Pb、<sup>47</sup>Sc、<sup>109</sup>Pd および<sup>188</sup>Re がある。本発明の抗体、抗原またはエピトープとカップリングさせることができが可能な他の治療物質、ならびにエクスピボおよびインビボの治療プロトコルは当業者に既知であるか、あるいは容易に確認できるものである。当業者は、適当な場合には、タンパク質材料そのものを用いる代わりに上記抗体、抗原またはエピトープのいずれかをコードする本発明のポリヌクレオチドまたは対応するベクターを用いることができる。

【0036】

さらに、本発明は、本発明の上に記載される抗体、抗原またはエピトープ、ポリヌクレオチド、ベクターまたは細胞を含む医薬組成物に関する。本発明の医薬組成物はさらに製薬的に許容される担体を含んでいてもよい。適当な医薬的担体の例は当分野に周知であり、

10

20

30

40

50

これにはリン酸緩衝化塩類溶液、水、エマルジョン、例えば油 / 水エマルジョン、種々のタイプの湿潤剤、滅菌溶液などが含まれる。このような担体を含む組成物は周知の慣用的方法によって製剤化できる。これらの医薬組成物を適当な用量で患者に投与し得る。適当な組成物の投与は種々の経路、例えば静脈内、腹膜内、皮下、筋肉内、局所または皮内投与によって行うことができる。投与方法は担当医および臨床的要因によって決定される。医学分野では周知であるように、いずれの患者に対する投与も、患者の大きさ、身体の表面領域、年齢、投与される具体的な化合物、性、投与期間および経路、全体的健康および同時に投与されている他の薬物を含む多くの要因に依存する。代表的な用量は、例えば 0.001 ~ 1000  $\mu\text{g}$  の範囲とするか、あるいはこの範囲の発現または発現阻害用の核酸用量とすることができる；しかし、この例示範囲以下またはこれ以上の用量も、特に上記要因を考慮して想定される。一般に、医薬組成物の定期的投与としての方法は 1 日当たり 1  $\mu\text{g}$  ~ 10 mg 単位の範囲であるべきである。方法が連続注入である場合、それぞれ 1 分当たり、体重 kg 当たり 1  $\mu\text{g}$  ~ 10 mg 単位の範囲でもあるべきである。定期的な評価によって進行をモニターできる。用量は変化するが、DNA の静脈内投与用の好みの用量は、DNA 分子約  $10^6$  ~  $10^{12}$  コピーである。本発明の組成物は局所または全身に投与することができる。投与は一般に非経口であり、例えば静脈内投与する；DNA はまた、例えば内部標的部位または外部標的部位への微粒子銃デリバリーによるか、あるいは動脈内部へのカテーテルによって標的部位に直接投与してもよい。非経口投用の製剤には、滅菌水性または滅菌非水性の溶液剤、懸濁剤およびエマルジョンが含まれる。非水性溶媒の例には、プロピレングリコール、ポリエチレングリコール、植物油、例えばオリーブ油、および注射用有機エステル、例えばオレイン酸エチルがある。水性担体には、水、アルコール性 / 水性の溶液、エマルジョンまたは懸濁液（塩溶液および緩衝化媒体を含む）が含まれる。非経口ビヒクルには、塩化ナトリウム溶液、リンガーデキストロース、デキストロースおよび塩化ナトリウム、乳酸化リンガー溶液 (lactated Ringer's) または固定油が含まれる。静脈内ビヒクルには、体液および栄養補給液 (fluid and nutrient replenishers)、電解液補給液 (electrolyte replenishers)（例えばリンガーデキストロースに基づくもの）などが含まれる。また保存剤および他の添加剤、例えば抗菌剤、抗酸化剤、キレート剤および不活性ガスなどを含ませてもよい。さらにまた、本発明の医薬組成物には、この医薬組成物の意図される用途に応じてインターロイキンまたはインターフェロンのようなさらなる物質を含ませることができる。例えば、本発明の医薬組成物は、上記のように、他の抗ウイルス剤と組み合わせて投与することができる。このような物質には、非制限的な例として、インターフェロン、他の抗 HCV モノクローナルまたはポリクローナル抗体、ヌクレオシドアナログ、DNA ポリメラーゼの阻害剤、および実施例 6 に記載の物質が含まれ得る。このような複合治療の場合、抗体を抗ウイルス剤と同時に与えるか、あるいは抗ウイルス剤での処置前または処置後に順に与えてもよい。このような医薬組成物はまた、例えば肝臓移植患者を免疫化し、該患者の HCV 感染再発の可能性を排除するために用いることもできる。さらに、例えば本発明の医薬組成物が HCV に対する有効な免疫応答の誘導能を有する上記抗原を含んでいる場合、この医薬組成物をワクチンとして製剤化してもよい。本発明の医薬組成物に関し、肝臓移植における使用を意図することは有益である。さらに、本発明の抗体は、HCV 感染ヒト血清での Tupaia 肝細胞 (Tupaia-hepatocytes) の感染を予防するのに有用であることが予想される。

#### 【 0037 】

本発明によって意図されるのは、標準的ベクターおよび / または遺伝子デリバリー系を用い、単独あるいは任意の組み合わせで、場合により製薬的に許容される担体または賦形剤とともに、本発明の種々のポリヌクレオチドおよびベクターを投与することである。投与後、該ポリヌクレオチドまたはベクターは、患者のゲノムに安定に組み込まれ得る。また、特定の細胞または組織に特異的であり、該細胞内で維持されるウイルスベクターを用いてもよい。適当な医薬的担体および賦形剤は当分野に周知である。本発明にしたがって調製された医薬組成物は HCV 感染を予防または処置または遅延させるために用いることができる。さらに、本発明のポリヌクレオチドまたはベクターを含む本発明の医薬組成物を

遺伝子治療において用いることも可能である。適当な遺伝子デリバリー系には、リポソーム、レセプター媒介性デリバリー系、裸のDNAおよび、ヘルペスウイルス、レトロウイルス、アデノウイルスおよびアデノ関連ウイルスのようなウイルスベクターなどが含まれる（また上記を参照のこと）。また遺伝子治療のために、微粒子銃デリバリー系、例えば Williams (Proc. Natl. Acad. Sci. USA 88 (1991), 2726-2729) に記載されるような系を用いて、核酸を身体の特定部位にデリバリーすることができる。

#### 【0038】

さらなる態様では、本発明は、患者（被検体）におけるC型肝炎ウイルスの（再）感染を予防する方法であって、本発明の抗体、ポリヌクレオチドまたはベクターを投与する工程を含む方法に関する。さらに患者における慢性C型肝炎を緩和する方法であって、製薬的に許容される担体と組み合わせた本発明の前記化合物を用いて該患者を処置する工程を含む方法を含む。

10

#### 【0039】

別の態様では、本発明は、上記本発明の抗体、抗原、ポリヌクレオチド、ベクターまたは細胞のいずれかを含む診断組成物および場合により適当な検出手段に関する。本発明の抗原および抗体は、例えば、それらが液相で利用可能であるか、あるいは固相担体と結合可能であるような免疫アッセイにおいて使用するのに適当である。本発明の抗原を利用できる免疫アッセイの例には、直接または間接形式の競合および非競合免疫アッセイがある。このような免疫アッセイの例には、放射性免疫アッセイ（RIA）、サンドイッチ（免疫測定アッセイ（immunometric assay））およびウエスタンプロットアッセイがある。本発明の抗原および抗体は多くの種々の担体と結合可能であり、該ポリペプチドと特異的に結合する細胞の単離に用いることができる。周知の担体の例には、ガラス、ポリスチレン、ポリビニルクロライド、ポリプロピレン、ポリエチレン、ポリカルボナート、デキストラン、ナイロン、アミロース、天然および修飾セルロース、ポリアクリルアミド、アガロースおよび磁鉄鉱が含まれる。担体の性質は、本発明の目的のために可溶性または不溶性であり得る。

20

#### 【0040】

当業者に既知の、多くの種々のラベルおよびラベル化方法が存在する。本発明で用いることができるラベルのタイプの例には、酵素、放射性同位体、コロイド状金属、蛍光化合物、化学発光化合物および生物発光化合物が含まれる（また、本明細書中上に論考される態様を参照のこと）。

30

#### 【0041】

さらなる態様により、本発明の抗体は、試験される個人から体液サンプル（試料）（血液サンプル、リンパ液サンプル、または他のいずれかの体液サンプルであってよい）を得、この体液サンプルを、抗体-抗原複合体を形成可能な条件下で本発明の抗体と接触させることにより、個人におけるHCV感染を診断する方法において用いることができる。次いで、当分野に既知の方法によってこのような複合体のレベルを測定し、コントロールサンプル中で形成されたレベルより有意に高いレベルであれば試験された個人におけるHCV感染が示される。同様に、本発明の抗体が結合する特異的抗原を、試験される個人由來の体液サンプルを上記抗原と接触させ、サンプル中の抗原-抗体複合体の形成を測定することによって個人におけるHCV感染を診断するのに用いてもよい。したがって本発明は、C型肝炎ウイルスの糖タンパク質E2の存在に関するインビトロ免疫アッセイであって、好ましくは非還元条件下、その本発明の抗体との共沈殿を測定することを特徴とするアッセイに関する。さらに本発明は、患者における慢性C型肝炎の診断方法であって、本発明の抗体を用い、C型肝炎ウイルス糖タンパク質E2の標的細胞への結合の中和が存在するか否かに関して該患者のサンプルを試験することを特徴とする方法を含む。したがって、本発明はまた、本発明の抗体を用い、C型肝炎ウイルス糖タンパク質E2の標的細胞への結合を阻害する中和アッセイに関する。

40

#### 【0042】

本発明はまた、サンプル、例えば細胞サンプル中のHCV抗原の存在を検出する方法であ

50

つて、患者から細胞サンプルを得、これを、好ましくは、抗体の抗原に対する結合を可能にする非還元条件下で、上記抗体の1つと接触させ、例えば放射性免疫アッセイまたは酵素免疫アッセイのような免疫アッセイ技術を用いて結合抗体の存在を検出することを含む方法をも含む。さらに本発明は、患者における、C型肝炎ウイルスに対する自己抗体の検出方法であって、患者由来のサンプルを本発明の抗原と接触させ、該抗原と結合する抗体の存在を検出することを含む方法に関する。

#### 【0043】

さらに好ましい態様では、本発明は、患者のHCV感染を処置または予防するか、あるいはHCV感染の再発を予防するための医薬組成物の製造における、上記抗体、抗原、ポリヌクレオチド、ベクターまたは細胞の使用に関する。好ましくは、このような医薬組成物を肝臓移植前、移植中または移植後に投与されるように設計する。

10

#### 【0044】

本発明の医薬組成物、方法および使用は、ヒトにおいて用いられるのが望ましいが、本明細書中に記載の方法および使用には動物の処置も含まれる。

#### 【0045】

これらおよび他の態様は本発明の詳細な記載および実施例に開示され、含まれている。本発明において用いられる抗体、方法、使用および化合物のいずれかに関するさらなる文献は、例えば電子デバイスを用いて公的なライブラリーおよびデータベースから引き出すことができる。例えば、インターネット上、例えば <http://www.ncbi.nlm.nih.gov/PubMed/medline.html> において利用可能な公的なデータベースである「Medline」を用いることができる。さらなるデータベースおよびアドレス、例えば <http://www.ncbi.nlm.nih.gov/>、<http://www.infobiogen.fr/>、[http://www.fmi.ch/biology/research\\_tools.html](http://www.fmi.ch/biology/research_tools.html)、<http://www.tigr.org/> は当業者に既知であり、例えば <http://www.lycos.com> を利用して得ることもできる。バイオテクノロジー分野の特許情報の概観、および過去の検索 (retrospective searching) および現状の認識 (current awareness) に有用な特許情報の関連ソースの調査は Berks, TIBTECH 12 (1994), 352-364 に与えられている。

20

#### 【0046】

上の開示は本発明を全体的に記載している。以下の具体的な実施例を参照することによってより完全な理解を得ることができる。この実施例は本明細書中に、単に例示目的で提供されるものであって、本発明の範囲を限定するためのものではない。

30

#### 【0047】

実施例により本発明を示す。

実施例1：患者のスクリーニングおよびヒトモノクローナル抗体産生B細胞（LCL）の作成

2人の患者が本実験に関与した。RIBA IIIアッセイ (Abbott Laboratories) によってHCV感染を測定した。PBMC（末梢血液単核細胞）を不死化する時点で、組織学的試験およびポジティブPCRアッセイによって測定したところ、両患者は慢性肝炎を有していた。bDNAアッセイバージョン2.0 (quantiplex HCV RNA Assay, Chiron Diagnostics) を用いて血清ウイルス負荷を測定した。3つの異なる方法を用いてHCV遺伝子型を決定した。第一の方法は非構造性抗原4（NS4）に対する遺伝子型特異的抗体の検出に基づくものであり、製造元の指示書 (MUREX Diagnostics SA, Bhattacherjee et al., 1995) にしたがい、MUREX 1-6 血清型アッセイを用いて測定した。第二の方法は遺伝子型 / サブタイプ特異的プライマーを用いるゲノムの5'非コード化領域 (NCR) 由来のウイルス配列の増幅に基づくものであり、INNO-LIPAアッセイ (Innogenetics S.A.) を用いて行った。これら2人の患者のうちの1人、患者1においては、血清中のPCRによって検出可能なHCV RNAにもかかわらず、血清ALT（アラニンアミノ転移酵素）レベルは正常であり、維持されていた（穏やかな肝炎）。対照的に、患者2においては、ALTレベルは一貫して高く維持されており、この患者における感染は肝硬変を特徴としていた。HMAb産生セルラインの作成は、以前に記載 (Boyer et al., 1991, Desgranges et al., 1988, Seigneurin et al., 1983) されるように行った。簡単

40

50

には、Ficoll 単離後、P B M C を E B V 培養上清 (B 9 5 . 8 株上清 1 m L、5 × 1 0<sup>6</sup> P B M C に対して 1 0 - 3 T D 5 0 / m L の力価) に室温で暴露した。インキュベーション後、これを媒地中で希釈し、ウェル当たり 5 0 ~ 1 0 0 × 1 0<sup>3</sup> 細胞の範囲の濃度にした。2 ~ 4 週間後、S V E 2 C V - 1 I F A により、上清を抗 - E 2 反応性に關してスクリーニングした。抗 - E 2 抗体の検出は抗原生産方法に強く依存することが報告されている (Chien et al., 1993, Hsu et al., 1993, Lesniewski et al., 1995)。原核生物ではなく、真核生物によって H C V E 2 を発現させると、このタンパク質は適正にプロセッシングされ、グリコシル化されることが示された (Selby et al., 1993)。我々の実験では、抗 - E 2 抗体についてのスクリーニングアッセイとして、真核生物によって発現された E 2 抗原を用い、天然形態下で分析し、すなわち免疫蛍光アッセイ (I F A) によって明視化した。このような検出アッセイは以前に Fournillier-Jacob らによって用いられたものであり、抗体検出に特に有効であることが示されている (Fournillier-Jacob et al., 1996)。簡単には、原型株 H (遺伝子型 1 a) 由来の H C V E 2 アミノ酸配列 3 7 1 ~ 7 4 6 を発現する組換えプラスミド、p C W 1 8 E 2 を用いて、ヘルパー S V 4 0 突然変異ウイルスとともに C V - 1 細胞をトランスフェクトし、E 2 を発現する組換えウイルス (S V E 2, Fournillier-Jacob et al., 1996, Wychowski et al., 1986) のストックを作成した。S V E 2 ウイルスを用いて、C V - 1 細胞をさらに感染させ、感染患者の血清および以前に記載される E B V 不死化 B 細胞 (Fournillier-Jacob et al., 1996) 由来の上清を用いて免疫蛍光分析を行った。分析前に細胞をメタノール : アセトン (3 : 7) で固定した。さらに、放射線照射 (2, 5 0 0 rad) された同種 P B M C 5 0 × 1 0<sup>3</sup> を用い、2 ~ 2 0 細胞 / ウェルで L C L を 2 回サブクローニングした。2人の患者由来の 2 個の一貫してポジティブなクローニングを得た。表 1 に 2 人の患者の特徴および、(5 0 3 および 1 0 8 と称される) H M A b を産生する 2 種類のリンパ系 B セルラインの特徴をまとめる。2 種類のクローニングの培養上清を分析すると、両クローニングが I g G 1 のみを分泌することが示された。各クローニング由来の上清を、組換え S V E 2 ウイルスで感染させた C V - 1 細胞における I F A によって試験し、ヒト I g M、I g G または I g A (Byosis)、I g G 1、I g G 2、I g G 3 および I g G 4 サブクラス (Sigma Immuno Chemical Co.) および および 軽鎖 (Dakopatts) に対する特異的二次抗体を用いて染色した。

表 1. 患者および誘導されるヒト抗 - E 2 モノクローナル抗体の特徴

【表 1】

患者	遺伝子型 <sup>a</sup>	ウイルス負荷 <sup>b</sup> Eq/mL × 10 <sup>5</sup>	組織学的診断	H M A b	イタイ <sup>c</sup>
1	4	5. 2	穏やかな慢性肝炎	5 0 3	IgG1 λ
2	1 b	2 1. 8	肝硬変	1 0 8	IgG1 λ

<sup>a</sup> 患者の E B V - P B M C 形質転換の日に得られたサンプルならびに以後 2 年間のうち、異なる 2 つの時点で得られたサンプルを用いて分析を行った。異なる時点での結果および異なるアッセイ間の結果は一致した。

<sup>b</sup> Quantiplex b D N A アッセイ (Quantiplex HCV RNA アッセイ、Chiron Diagnostics, Emeryville) を用いて血清中において定量。

<sup>c</sup> 各クローニング由来の上清を、組換え S V E 2 ウイルスで感染させた C V - 1 細胞において I F A によって試験し、ヒト I g M、I g G、I g A、I g G 1 ~ 4 サブクラスに対する特異的二次抗体を用いて染色した。

【0 0 4 8】

上清が産生した H M A b のアフィニティー精製用にプロテイン A (Pharmacia) カラムを

10

20

30

40

50

用いた。以前に記載 (Boyer et al., 1991) されるように E L I S A によって培養上清中の抗体濃度を測定した。L C L は慣用の培養媒地 1 mL当たり 2 ~ 5  $\mu$ g の A b を產生した。患者 1 および 2 に感染したウイルスの遺伝子型決定は、P B M C 不死化の時点および不死化前 2 年間の間に 2 回、2 種類の異なるアッセイを用いて行った。両アッセイは一致した結果を与えた。これにより、患者 1 には遺伝子型 4 単離体が感染し、患者 2 には遺伝子型 1 b 単離体が感染していることが示された。市販の H C V 遺伝子型決定アッセイは特異性を欠いていることがあり得るため、二重感染の可能性を排除するため、我々は H C V ゲノムの 5' 非コード化領域内に位置する P C R 誘導配列の分析によって上記結果をさらに確認した。クローニングされた準種 (quasispecies) 由来のヌクレオチド配列を公的なデータベース (Bukh et al., 1992) と比較した結果、市販の遺伝子型決定アッセイを用いて得られた結果、すなわち両患者には単一のウイルスタイプが感染していたことが確認された。図 1 は、患者の血清 (A および B) または精製されたモノクローナル抗体 (C および D) を用いる I F A において得られた S V E 2 感染 C V - 1 細胞の染色を示す。この反応性は細胞質に局在し、核周囲に優勢な分布を示した。

#### 【 0 0 4 9 】

##### 実施例 2 : H M A b の免疫学的特徴

種々のアプローチを用いて生産された抗体の免疫反応性を特徴付けた。元の患者の血清、L C L 由来の上清ならびに精製された抗体を用い、変性条件および、サブタイプ 1 a および 1 b によって誘導された E 2 タンパク質を含むタンパク質調製物を用いるウエスタンプロット分析 (Nakano et al., 1997) を行った。ウエスタンプロット分析では、バキュロウイルスに発現させた遺伝子型 1 a および 1 b 配列由来の E 2 タンパク質を以前に記載されるように用いた (Nakano et al., 1997)。患者の血清 (1 : 50)、2 種類のクローン由来の上清ならびに精製された H M a b (10  $\mu$ g / mL の高濃度で試験) を用いた。以前に記載 (Courtesy A.M. Prince, Wang et al., 1996) される全 E 2 オープンリーディングフレームをカバーするひとそろいの合成ペプチドを用いて、患者の血清ならびに精製された抗体を用いるエピトープマッピングを行った。この合成ペプチドは大部分が、連続するペプチド間に 6 a a の重複を伴う 1 2 - m e r であり、H C V - H 株 (遺伝子型 1 a) E 2 タンパク質の配列に対応する。E 2 (a a 3 8 4 ~ 7 2 7) に対してトータルで 57 のペプチドが存在し、これらはすべて AnaSpec によって合成されたものである。

#### 【 0 0 5 0 】

両 H C V 感染患者の血清は 1 a および 1 b 誘導 E 2 タンパク質と反応したが、培養上清または精製された H M a b はいずれも、10  $\mu$ g / mL の高濃度で試験した場合でもポジティブなシグナルを与えたかった。培養上清または精製された抗体を、E 2 1 a 配列をカバーする合成ペプチドのパネルを用いるペプチドスキャンニング E L I S A において試験した場合でも、全く反応性が観察できなかった。

#### 【 0 0 5 1 】

上記観察により、認識された決定基が非鎖状的性質であり得ることが示されるため、種々のサンプルの免疫反応性を I F アッセイにおいて分析した。試験し、限られた (restricted) 決定基配列を同定するために、E 2 の種々のドメインを発現するひとそろいのプラスミド (図 2 を参照のこと) で細胞を形質転換した。E 2 タンパク質の断頭ドメインを発現するひとそろいのベクター (図 2 を参照のこと) によってトランスフェクトされた L T K 細胞に対する I F A により、得られた 2 種類の H M a b を反応性について評価した。標準的技術を用い、以前に記載 (Sambrook et al., 1989, Nakano et al., 1997) されるように、プラスミド p C I E 2 および p C I E 2 t に関しては、E 2 配列を p c D N A 3 プラスミド (Promega) の C M V プロモーター直下にクローニングするか、あるいはプラスミド p S 2 S . E 2 A - E に関しては、これを B 型肝炎ウイルス表面抗原との融合タンパク質として発現させた。全ての D N A 調製物は Qiagen 精製カラム (Qiagen) を用い、製造元の指示書にしたがって作成した。リポフェクタミン (Lipofectamine, Gibco BRL) の存在下、D N A 1 . 0  $\mu$ g を用いて L T K 細胞をトランスフェクトした。感染後 4 8 時間の時点で、以前に記載 (Major et al., 1995) されるように、細胞上清および精製された H

10

20

30

40

50

M A b の免疫反応性を I F A によって試験した。ポジティブコントロールではプラスミド p C I E 2 t の直接注入によって免疫化されたマウスから作成された反応性過免疫血清を使用した (Nakano et al., 1997)。ネガティブコントロールでは非感染 L T K 細胞ならびに、E 1 を発現する組換え S V 4 0 ウィルスで感染させた C V - 1 細胞を使用した (Fournillier-Jacob et al., 1996)。

#### 【0052】

表 2 : 患者の血清の免疫反応性および E 2 の断頭ドメインに対する精製モノクローナル抗体 (H M A b ) の免疫反応性

【表 2】

HCV 構築体 <sup>a</sup>	A	B	C	D	E	pCIE2 $\alpha$	pCIE2t	pcDNA3	10
患者 1 <sup>b</sup>	血清	+	-	+	-	-	+	+	-
	HMAb50	-	-	-	-	-	-	+	-
	3								
患者 2 <sup>c</sup>	血清	-	-	-	-	-	-	+	-
	HMAb10	-	-	-	-	-	-	+	-
	8								
マウス <sup>d</sup> モノクローナル Ab <sup>d</sup>	+	+	+	+	+	+	+	+	-

20

<sup>a</sup> L T K 細胞を記載のプラスミドによって一時的にトランスフェクトし、Major らによって記載されるように 48 時間後に I F A を行った (Major et al., 1995)。p S2.SE2A-E プラスミドに関しては Nakano ら (Nakano et al., 1997) にしたがう。pcDNA3 プラスミド (Promega) をネガティブコントロールとして用いた。

<sup>b</sup> 患者の血清は 1 / 20 希釈で試験した ; L C L の上清または精製 H M A b は、少なくとも 2 回の独立して行われた実験において 10  $\mu$  g / mL までの濃度で用いた。

<sup>c</sup> 全ての場合において、プラスミド pCIE2t の直接注入によって免疫化したマウスから得られた反応性過免疫血清を用い、トランスフェクションの効率およびプラスミドの適正な発現を評価した (Nakano et al., 1997)。

30

#### 【0053】

I F 実験の結果を表 2 にまとめた。患者 1 の血清は、種々の E 2 を発現するプラスミドから発現された配列内に位置する複数の決定基を認識した。対照的に、この患者から誘導された H M A b 5 0 3 は、(プラスミド p C I E 2 t によってコードされる) E 2 から発現されたほぼ完全長のものののみを認識し、より小さい発現形態の抗原を全く認識しなかった。患者 2 に関しては、血清ならびに誘導 1 0 8 抗体は最大に発現された形態の E 2 に対してのみ反応した。したがってこのアプローチを用いて、どちらかの精製抗体によって認識される限られた決定基配列を同定することは不可能であった。

#### 【0054】

40

全ての上記実験はサブタイプ 1 a 誘導抗原を含んでいた。交差反応能を評価する方法としてさらにサブタイプ 1 b 誘導 E 2 を認識するこの精製モノクローナル抗体の能力が評価された。H M A b の反応性は、このような抗原を発現する組換えシンドビスウイルス、Sincere/HCV-BK1-1207 で感染させた細胞を用いる免疫沈降によって試験した。強い特異的シグナルの観察によって示されるように、両抗体は抗原を認識できた。

#### 【0055】

上記結果をまとめると、これらのデータは、H M A b が少なくとも 2 種類の E 2 サブタイプ (1 a および 1 b ) 誘導抗原の特異的な決定基を認識できることが示される。さらに、これらはこの抗体がコンホメーション依存性決定基を認識する可能性が高いことを強く示す。

50

## 【0056】

## 実施例3：免疫沈降試験

ウエスタンブロッティングにおいても、およびE2の先端が切り取られたそれぞれ異なる部分を発現する一連のベクターでトランスフェクションされたLTK細胞に対するIFAによっても、HMAbの反応性がないということは、Abがコンホメーション依存性エピトープを認識していることを示唆している。したがって、HMAbによるE2の認識をパルスチェイス実験でさらに調べた。さらに、これまでの報告(Deleersnyderら, 1997)では、ビリオン粒子に取り込まれる機能的サブユニットであると提唱される複合体をE1とE2が相互作用して形成していることが示唆されているので、そのような複合体を認識するHMAbの能力も評価した。これらのE1E2複合体は、非共有的に会合しているか、あるいはE1E2集合体を形成する分子内ジスルフィド結合によって安定化されている。10

## 【0057】

共有的に会合したE1E2複合体はまた、ウイルス粒子の機能的サブユニットの一部であるとは考えられないとも報告されている(Dubuissonら, 1994, Grakouiら, 1993, Ralstonら, 1993)。本発明のために、それぞれ異なる組換えウイルスを使用した。これらのウイルスには、1) T7 DNA依存性RNAポリメラーゼを発現する組換えワクシニアウイルスvTF7.3(Fuerstら, 1986)、2) HCV-Hアミノ酸配列を発現する一連の組換えワクシニアウイルスvHCV170-809、vHCV371-809、vHCV1-1488およびvHCV370-661(Grakouiら, 1993, Michalakら, 1997, Fournillier-Jacobら, 1996, Major et.al., 1995)および3)遺伝子型1b株、B株の構造タンパク質を発現する組換えシンドビスウイルス(Sinrep/HCV-BK1-1207)(Dubuisson et.al., 1994)。ウイルスストックは、記載されているとおり(Dubuisson et.al., 1994, Bredenbdeek et.al., 1993)、CV-1単層(ワクシニアウイルス用)またはBHK-21細胞(シンドビスウイルス用)において作成した。以前に記載されているとおり(Dubuisson et.al., 1994, Dubuisson and Rice, 1996)、細胞を感染させ、35S-トランスラベル(ICN)で代謝的に標識した。細胞を、10mM Tris-HCl(pH 7.5)、150mM NaClおよび2mM EDTA中の、0.5%NP-40で溶解させた。ジスルフィド結合形成を分析する実験については、20mMのヨードアセトアミドをこの溶解緩衝液に入れた。免疫沈降は記載されているとおり行なった(Dubuisson et.al., 1994, Dubuisson and Rice, 1996)。定量実験については、デンシオメトリーによってオートラジオグラフを分析した。30

## 【0058】

3.1 HMAbはEの早期に折り畳まれるドメインを認識する

免疫沈降を行ない、これらHMAbによって認識されるタンパク質を特徴付けた(図3)。コンホメーション非依存性エピトープまたはコンホメーション依存性エピトープに対するネズミ抗E2MAb(MAbA11またはMAbH2)を比較のために使用した(Dubuisson et.al., 1994, Deleersnyder et.al., 1997)。還元的条件下では、パルスの間、HMAb108および503によってE2タンパク質は沈降しなかったが、30分のチェイス後にE2に対応するバンドが検出され始め、60分後には強度が増加した(図3、還元的HMAb108および503)。これは、コンホメーション非依存性エピトープに対するネズミMAbA11を使用したときに観察された結果とは対照的であった(図3、還元的、MAbA11)。この後者の抗体に関しては、前に観察されたように、恐らくE2-NS2前駆体におけるNS2領域の合成中の翻訳休止の結果として、成分の異なったE2関連産物がパルス中に検出された(Dubuisson et.al., 1996)。MAbA11については、沈降したE2-NS2前駆体の強度は、30分のチェイス後に非常に高く、時間とともに減少したのに対し、HMAb108および503によって沈降したE2-NS2タンパク質の強度は低くむしろ一定であり、主としてE2がE2-NS2前駆体から分解した後にAbによって沈降したことを示した。コンホメーション依存性MAbH2を用いて行なった免疫沈降との比較は、E2の検出における大きな遅れを示した(図3、還元的、MAbH2)。これらの観察結果は、実際、HMAbが、E2タンパク質の成熟過程の早期に現れるE2のコンホメーション依存性ドメインを認識していることを示している。両HMAb4050

のエピトープ形成の推定半減期は、約15分であった（データ示さず）。

【0059】

3.2 H M A b は非共有的 E 1 E 2 複合体を沈降させることができる

非還元的条件下で更なるパルスチェイス実験を行ない、還元的条件下で行なった実験と比較した（図3）。還元的条件下の間、両H M A bはE 1と共沈し、これらがE 1およびE 2複合体を認識していることを示したが、E 1 E 2複合体を安定化するジスルフィド結合を阻止する非還元的条件下で免疫沈降を行なった場合、遅く移動するバンドがさらにゲルの上部で検出された。これら後者の観察結果は、沈降したE 1 E 2複合体が、非共有的に会合したヘテロダイマーおよび異種の連結した集合体から成っていたことを示唆している。E 2の天然の形態を認識可能であると示されているM A b H 2について前に観察されたように、その場合ではE 1およびE 2に対応するバンドのみがゲルの上部に検出された（図3、非還元的、H 2、Deleersnyder et.al., 1997）。非還元的条件下で、E 1単量体のH M A b 1 0 8による共沈殿はH M A b 5 0 3と比較すると弱く、長い時間暴露した後にだけ特異的なバンドが検出された。したがって、両H M A bは早期に折り畳まれるとみられるE 2タンパク質のドメインを認識し、そのタンパク質が、非共有的に会合したE 1 E 2複合体の共沈殿によって示唆されるような最終的なコンホメーションをとりながらも影響されやすい状態を維持し得る。  
10

【0060】

以上をまとめると、上記のデータは、H M A b 1 0 8および5 0 3の両方が、コンホメーション依存性決定基（単数または複数）を認識し、ビリオン粒子の表面に存在すると考えられているE 1およびE 2の非共有的に会合した複合体を沈殿させることができたということを示している。  
20

【0061】

実施例4：細胞上に結合するE 2の中和

Rosaらによって最近開発されたアッセイ（Rosa et.al., 1996）によって、H C Vに感染しやすい細胞上への、高度に精製されたE 2の結合を中和する候補抗体の能力（neutralizing of binding即ちN O B）を定量的に評価することが可能である。このアッセイで両M A bを評価した。E 2のM O L T 4細胞への結合を中和するH M A bの能力（Neutralization of Binding即ちN O B）を、Rosaらによって最近開発されたアッセイ（Rosa et.al., 1996）で評価した。このアッセイは、9 6 U底マイクロプレートにて行なった。簡潔に説明すると、0.5 μg / mLの組換えC H O E 2<sub>3 8 4 - 7 1 5</sub>タンパク質20 μLを、種々の希釈率の抗E 2 H M A bおよび対照H M A b（Rosa et.al., 1996, Boyer et.al., 1991）と混合した。4で1時間インキュベーションした後、混合物をM O L T - 4細胞に加えた（ウェルあたり10<sup>5</sup>細胞）。洗浄したのち、細胞を、標的細胞に結合したE 2を認識する抗E 2免疫グロブリンを有する希釈率1/100のヒト血清とインキュベーションした。細胞を洗浄して、フルオレセインイソチオシアネートをコンジュゲートしたI g Gに対する抗血清とインキュベーションした。蛍光をFACScanフローサイトメーターで分析した。特異的中和を以下のように計算した：((ポジティブコントロールM F I - 実験M F I) / (ポジティブコントロールM F I - ネガティブコントロールM F I)) × 100 [ここで、M F I = 細胞集団の平均蛍光強度であり、細胞に結合した蛍光標識したH C Vタンパク質の表面密度に直接関係する。H C Vタンパク質ありまたはなしで、H C V H M A bまたはH C Vネガティブ H M A bまたは免疫前血清（Rosa et.al., 1996）とインキュベーションした細胞のM F I値を比較する。陽性の閾値は、H C Vに対する抗血清およびフルオレセインイソチオシアネート標識した二次抗体とインキュベーションした、H C Vタンパク質が結合していない細胞のフローサイトメトリー分析によって、実験ごとに設定する。競合結合解析については、抗体を以下のとおりビオチン化した：0.4 Mリソ酸緩衝液中の抗体1mg / mLをN - N -ジメチルホルムアミドビオチン2mg / mLと4で2時間インキュベーションし、大量のP B Sに対して一晩透析した。両抗体を用いてN O B活性の試験を行ない、競合標識抗体は2.5 μg / mLで使用した。  
30  
40

【0062】

それぞれ異なる抗体濃度で得られた中和百分率を図4に示す。この結果は、HMAb503がNOB活性を示し、結合の50%中和が0.03μg/mLの濃度に達したことを示している。HMAb108については、試験したいずれの濃度においてもNOB活性が検出されなかった。よって、NOB活性があるHMAb503はこれまでに開示されたはじめての抗体である。興味深いことに、このアッセイでは遺伝子型1(a)由来の抗原を使用したのに産出クローニング(503)が遺伝子型4に感染した患者に由来するものであったという事実によって、この抗体の交差反応の潜在能力が確認される。このデータはさらに、NOB活性を有する抗体が、異なった遺伝子型の間で保存されている決定基を標的としているようであるということを示唆している。

## 【0063】

10

この2種の抗体が同様なエピトープに結合するのか、あるいは形状の異なったエピトープに結合するのかを競合実験を行なって調べた。HMAb108は、503Abの中和活性の検出を妨害しなかった(つまり、競合しなかった)。この結果は、HMAb108および503が、E2タンパク質の異なったエピトープを認識しているということを強く示唆するものである。

## 【0064】

## 実施例5：肝臓移植におけるHCV感染の阻止

以下に、本発明の抗体を移植した臓器の再感染を回避するために投与する、C型肝炎ウイルス(HCV)に感染している場合の肝臓移植について述べる。

## 【0065】

20

患者の準備：全身を剃毛し、浣腸し、血液を採取し(HCV-RNAの定量的測定)、薬剤による腸の汚染除去を行なう。

## 【0066】

ドナーの準備(脳死を確認、心拍あり)：血液を採取(B型、C型肝炎ウイルス；HIV、サイトメガロウイルスに対する抗体のチェック)、臓器を摘出し、ウィスコンシン大学に輸送するため保存用媒体中で保存し(カリウムに富む電解質溶液、温度を4℃に維持)、患者のところへ輸送する。患者に対し、全身麻酔+手術室内での免疫抑制(プレドニゾロン約1g+FK506またはシクロスボリンA+場合によりアザチオプリン(azathioprine)+場合により抗胸腺細胞グロブリン)を行なう；胃を開き(開腹術)；血流を安定化するためにバイパスを大腿静脈(隆線(ridge))と腋窩静脈(腋窩)の間で固定し；肝臓を周囲の組織から離し；導入性および導出性血管(肝動脈、門脈、総担管、肝静脈)を処理して肝臓を移動させる(pringle-Manoeuvre)。血管をクランプで止め、肝臓を摘出する。

30

## 【0067】

この段階において：抗体を投与する：100～200mg抗体+500mgヒト血清アルブミンの凍結乾燥品または濃縮溶液を等張食塩水100mLまたは5%グルコース溶液に溶解し、2時間かけて輸液する。輸液の間、ドナーの臓器は患者の腹部に置く。血管をつなぎ(縫合)、検査用血液を再び採取した(HCV-RNA力価の測定)。輸液が完了したら、血管を再灌流し閉塞をチェックする。血管が閉塞していたら、肝臓を腹部に置く。灌流を開始してから1時間後に肝臓の生検を取り、腹部を閉じた。抗体が標的に到達しているかどうか、生検を免疫組織化学的に分析する。

40

## 【0068】

患者を集中治療室に移動させ、麻酔と人工呼吸を維持する。肝機能、二次出血、血管閉塞、感染の程度、血中の抗体濃度並びにHCV-RNA力価を厳密に監視する(平均的なHCV-RNA力価の経過：数日後測定レベル以下、約1週間後に増加)。

## 【0069】

長期間の方針：始めの期間は、1日あたり100mgのプレドニゾロンを投与、3ヶ月経過する間に投与量を5mgへと減らす；プレドニゾロンおよび個々の用量のFK506またはシクロスボリンを生涯にわたり投与し、アザチオプリン(azathioprine)および/または抗胸腺細胞グロブリンは、始めの4週間だけ投与する。治療用抗体を大体6～8週間

50

ごとに更新し(100~200mg輸液)；HCV-RNA力値および抗体の濃度を4週間にごとに測定する。抗体についてさらに多くのことが分かっている場合は、それ以上測定する必要はないであろう。肝機能、感染および拒絶反応の可能性(生検)を生涯にわたり監視する。暴露前の予防(感染者のパートナー；妊娠を望まない場合は、通常、コンドームの使用による予防)：6~8週間にごとに100~200mgの抗体を筋肉内投与(十分許容可能ならば)または輸液によりボーラス投与する。血中の抗体濃度の監視を行なう。

【0070】

暴露後の予防(注射針で自分自身を刺した看護婦など)については、血液を採取し(HCV-RNA力値を測定する)、結果が出る前に100~200mgの抗体を輸液により投与する。

10

【0071】

実施例6：ヒト抗HCV抗体の機能的免疫グロブリン可変領域配列のクローニングおよび配列決定およびCHO細胞における発現

Chomczynski (Analytical biochemistry 162 (1987) 156-159)にしたがって、抗体産生EBV-形質転換ヒトB細胞系から全RNAを調製した。次いで、cDNAを標準的なプロトコルにしたがって合成した(Sambrook, Cold Spring Harbour Laboratory Press 1989, 第2版)。

【0072】

ヒト抗HCV抗体のラムダ軽鎖および1重鎖Fd断片(VH+CH1)をコードするDNA領域を、鋳型として表3に記載したオリゴヌクレオチドプライマーセットと前記ヒトB細胞系から合成したcDNAを用いてPCRにより増幅した。

20

【0073】

プライマーセットには、重鎖Fd断片については5'-XhoIおよび3'-SpeI認識部位、ラムダ軽鎖については5'-SacIおよび3'-XbaI認識部位を導入する。重鎖FdをコードするDNA断片のPCR増幅については、5つのそれぞれ異なった5'-VH-プライマー(VH1, 3, 5, 7, VH2, VH4, VH4BおよびVH6)をそれぞれ3'-VH-プライマー-CGd1と組み合せた；ラムダ軽鎖断片のPCR増幅については、8つのそれぞれ異なった5'-VL-プライマー(VL1-8)をそれぞれ3'-VL-プライマー-CL2と組み合せた。

30

【0074】

以下のPCRプログラムを増幅に使用した：94℃20秒間の変性、52℃50秒間のプライマーアニーリングおよび72℃60秒間のプライマー伸長、これを40サイクル、次いで72℃で10分間の最終伸長。

【0075】

PCRはアガロースゲル上で行ない、適切なサイズのDNAバンドを単離した。次いで、単離した各DNAバンドを制限酵素XhoIおよびSpeI(重鎖断片の場合)、またはSacIおよびXbaI(軽鎖断片の場合)で消化し、XhoIおよびSpeIによる消化またはSacIおよびXbaIによる開裂のいずれかによって調製したプラスミドベクターBluescript(Stratagene)にクローニングした。

40

【0076】

次いで、クローニングした重鎖または軽鎖断片のプラスミド調製物を配列解析した。正確に1つの機能的VH領域および1つの機能的VL領域を同定することが可能な、機能的免疫グロブリン重鎖および軽鎖可変領域(VHおよびVL)をコードする2つの配列をそれぞれ選択した。機能的VL配列およびVH配列を図5(配列番号1および2)および図6(配列番号3および4)に示す。成熟N末端のアミノ酸配列は、ヒトV遺伝子配列データバンク(<http://www.mrc-cpe.cam.ac.uk/imt-doc/>)によって提供されている対応する生殖細胞系の配列との比較によって完成させた。

【0077】

クローニングおよび配列決定は、標準的な方法によって行なった(Sambrook, Cold Sprin

50

g Harbour Laboratory Press 1989, 第2版)。

ヒト抗HCV抗体の重鎖および軽鎖の元のN末端を含むVLおよびVH断片をクローニングするために、以下の実験手順を実行した：標準的なプロトコル (Sambrook, Cold Spring Harbour Laboratory Press 1989, 第2版) にしたがって、全RNAをMMLV逆転写酵素SuperscriptII (Gibco BRL, Eggenstein) により逆転写した。cDNAの特異的プライミングは、2つのオリゴヌクレオチドCGd1(重鎖用)およびCL2(軽鎖用)を用いて行なった。

【0078】

次いで、標準的なプロトコルにしたがって、ターミナルトランスフェラーゼ (Pharmacia, Freiburg) を用いてcDNAの第1の鎖の末端にPoly-Gをつなげた。このcDNAを、Gilliland L.K et.al., (Tissue Antigen 47, 1 - 20, 1996) に公開されたアンカープライマー配列に基づいている、5'-AncTail (CGTCGATGAGCTCTAGAATTCCCCCCCCCCCC) と称される、Poly-C伸長鎖を含むセンスプライマーを用いてPCR-増幅した。このアンカープライマーを、ラムダ軽鎖定常領域 (CL2) またはIgG1-CH1重鎖ドメイン (CGd1) のC末端をコードする核酸配列にそれぞれ特異的なアンチセンスプライマーと組み合せた。

【0079】

PCRは以下のとおりに行なった：初期変性：94 4分間；増幅30サイクル：93 30秒間；55 30秒間；72 30秒間；末端伸長：72 3分間。これらのプライマーはそれぞれ、対応するPCR断片のプラスミドベクターへのクローニングを可能にする、EcoRI/XbaIまたはEcoRI/SpeIでそれぞれ消化される制限酵素開裂部位 (5'-AncTail: EcoRI; CL2: XbaI; CGd1: SpeI) を含んでいる：このために、bluescript KS+プラスミドベクター (Genebank番号No X52327) を使用した。一般的な配列決定プライマーを使用することによって生じた挿入物を容易に配列解析できるからである。重鎖および軽鎖断片のクローラーのいくつかは、それぞれ同一の配列を有していることが分かり、機能的VL領域またはVH領域のいずれか一方をコードしていると同定できた。VH配列は上記方法によってクローニングされた配列と同一であることが分かった。VLのアミノ酸配列(配列番号6)は、上記方法によって得られたVL-配列と比較すると、成熟N末端の第2位において1つのアミノ酸置換を有することが分かった。

【0080】

天然のリーダーペプチドを含む完全なラムダ軽鎖を標準的な方法にしたがってPCRにより哺乳類発現ベクターpEF-ADAにクローニングした (PCT/EP98/02180参照)。VHはまた、標準的な方法にしたがってPCRにより、PCT/EP98/02180に記載されているように、哺乳類発現ベクターpEF-DHFR内のヒト1重鎖のゲノム構造にクローニングした。

【0081】

完全なヒトIgG1ラムダ抗体の発現は、記載されているように (PCT/EP98/02180)、CHO細胞の安定なトランスフェクションとその後の遺伝子増幅により行なった。培養細胞上清からの抗体の精製は、PCT/EP98/02180に記載されているように、プロテインAアフィニティークロマトグラフィーによって行なった。

【表3】

プライマーのリスト

## 5' - VHプライマーセット：

VH1, 3, 5, 7: AGGTGCAGCTGCTCGAGTCTGG  
 VH2: CAG(AG)TCACCTGCTCGAGTCTGG  
 VH4: CAGGTGCAGCTGCTCGAGTCTGGGG  
 VH4B: CAGGTGCAGCTACTCGAGTGGGG  
 VH6: CAGGTACAGCTGCTCGAGTCAGG

## 3' - VHプライマー：

CGd1 GCATGTACTAGTTTGTACAAAGATTGG

## 5' VLプライマーセット：

VL1: AATTTGAGCTCACTCAGCCCCAC  
 VL2: TCTGCCGAGCTCCAGCCTGCCTCCGTG  
 VL3: TCTGTGGAGCTCCAGCCGCCCTCAGTG  
 VL4: TCTGAAGAGCTCAGGACCCCTGTTGTCTGTG  
 VL5: CAGTCTGAGCTCACGCAGCCCC  
 VL6: CAGACTGAGCTCACTCAGGAGCCC  
 VL7: CAGGTTGAGCTCACTCAACCCCCC  
 VL8: CAGGCTGAGCTCACTCAGCCGCTTCC

## 3' VLプライマー：

CL2: CGCCGTCTAGAATTATGAACATTCTGTAGG

【 0 0 8 2 】

## 参考文献

- Abrignani, Springer Semin. Immunopathol. 19 (1997), 47-55  
 Akatsuka, Hepatology 18 (1993), 503-510  
 Bhattacherjee, J. Gen. Virol. 76 (1995), 1737-1748  
 Bergeron, Trends Biochem. Sci. 19 (1994), 124-129  
 Boyer, Clin. exp. Immunol. 83 (1991), 452-459  
 Bredenbeek, J. Virol. 67 (1993), 6439-6446  
 Bukh, Proc. Natl. Acad. Sci. USA. 89 (1992), 4942-4946  
 Cerino, J. Immunol. 147 (1991), 2692-2696  
 Cerino, J. Immunol. 151 (1993), 7005-7015  
 Chan, J. Gen. Virol. 77 (1996), 2531-2539  
 Chien, Lancet 342 (1993), 933  
 Choo, Science 244 (1989), 359-362  
 Choo, Proc. Natl. Acad. Sci. USA. 91 (1994), 1294-1298  
 Conley, J. Virol. 70 (1996), 6751-6758  
 Deleersnyder, J. Virol. 71 (1997), 697-704  
 Desgranges, Lancet, 8591 (1988), 935-936  
 Dubuisson, J. Virol. 68 (1994), 6147-6160  
 Dubuisson, J. Virol. 70 (1996), 778-786  
 Emini, Nature 355 (1992), 728-730  
 Farci, Proc. Natl. Acad. Sci. USA. 91 (1994), 7792-7796  
 Farci, Proc. Natl. Acad. Sci. USA. 93 (1996), 15394-15399  
 Fournillier-Jacob, J. Med. Virol. 50 (1996), 159-167  
 Fournillier-Jacob, J. Gen. Virol. 77 (1996), 1055-1064  
 Fouts, J. Virol. 71 (1997), 2779-2785  
 Francki, Arch. Virol. 2 (1991), 223-233  
 Fuerst, Proc. Natl. Acad. Sci. USA. 93 (1986), 8122- 8126  
 Gakoui, J. Virol. 67 (1993), 1385-1395  
 Hsu, Hepatology 17 (1993), 763-771  
 Fuerst, Proc. Natl. Acad. Sci. USA. 83 (1986), 8122-8126.
- 10
- 20
- 30
- 40
- 50

- Lesniewski, J. Med. Virol. 45 (1995), 415-422  
 Lanford, Virology 197 (1993), 225-235  
 Major, J. Virol. 69 (1995), 5798-5805  
 Michalak, J. Gen. Virol. 78 (1997), 2299-2306  
 Miller, Proc. Natl. Acad. Sci. USA. 87 (1990), 2057-2061  
 Miyamura, Trends Microbiol. 1 (1993), 229-231  
 Mondelli, J. Virol. 68 (1994), 4829-4836  
 Nakano, J. Virol. 71 (1997), 7101-7109  
 Putkonen, Nature 352 (1991), 436-438  
 Ralston, J. Virol. 67 (1993), 6753-6761 10  
 Rice, Fields Virology, Third edition. Raven Press, New York (1996)  
 Rosa, Proc. Natl. Acad. Sci. USA. 93 (1996), 1759-1763  
 Saito, Proc. Natl. Acad. Sci. USA. 87 (1990), 6547-6549  
 Sambrook, Molecular cloning: a laboratory manual, 2nd ed. Cold Spring Harbor Laboratory Press. Cold Spring Harbor, New York (1989)  
 Seigneunn, Science 221 (1983), 173-175  
 Selby, J. Gen. Virol. 74 (1993), 1103-1113  
 Shimizu, J. Virol. 68 (1994), 1494-1500  
 Shimizu, Virology 223 (1996), 409-412  
 Weiner, Virology 180 (1991), 842-848 20  
 Wang, J. Inf. Dis. 173 (1996), 808-821  
 Wychowski, EMBO J. 5 (1986), 2569-2576  
 Zibert, Virology 208 (1995), 653-661  
 Zibert, Hepatology 25 (1997), 1245-1249

【図面の簡単な説明】

【図1】間接的免疫蛍光分析。以前に記載 (Fournillier-Jacob et al., 1996) されるようにCV-1細胞をSVE2組換えウイルスで感染させ、患者の血清(1:20希釈)またはHMAb産生セルライン由来の上清を用いて免疫蛍光分析を行った。フルオレセインとカップリングさせたヤギ抗ヒトIgG免疫血清を用いて染色を行った。(A)患者1由来の血清；(B)患者2由来の血清；(C)HMAb503；(D)HMAb108；(E)HCVに関連しない慢性肝炎の患者由来の血清。さらに、SVE1組換えウイルス(E1を発現)でトランスフェクトされ、HMAb503または108で染色(結果はHMAb503のみに関して示す)されたCV-1細胞を含むネガティブコントロール(F)。 30

【図2】エピトープマッピング試験において用いられたプラスミド。(A)ウイルスのヌクレオキヤプシド(C)、糖タンパク質E1およびE2および非構造タンパク質p7、NS2およびNS3をコードするHCVゲノムドメインの説明(Rice et al., 1996)。タンパク質分解の開裂部位のアミノ酸位置を示す。(B)種々の発現プラスミドによってコードされる配列のマップ位置(map position)およびアミノ酸境界(amino acid boundaries)を示す。 40

【図3】還元条件および非還元条件下での、E2の免疫沈降およびE1の共沈殿およびエピトープ形成の分析。vTF7-3およびvHCV1-1488で共感染させた細胞(vHCV)またはTF7-3単独で感染させた細胞(M)を5分間パルスラベルし、記載される時間(単位:時間)追跡した。E2糖タンパク質を、HMAb108、503およびマウスマAbH2(Deleersnyder et al., 1997)およびA11(Dubuisson et al., 1994)を用いて免疫沈降させた。免疫沈殿を還元条件または非還元条件下、SDS-PAGE(10%アクリルアミド)によって分析した。HCV特異的タンパク質の予想される位置を図の左に示す。

【図4】HCV-E2、HMAbによるE2結合の中和%。種々の濃度の抗-E2 HMAb503および108を、その、精製されたCHO発現E2タンパク質のMOLT-50

4細胞への結合の中和能に関して試験した。中和は、以前に記載 (Rosa et al., 1996) されるように計算し、50%中和力値を示した。

【図5】 HMAb 503の軽鎖の可変領域 ( $V_L$ ) のヌクレオチドおよびアミノ酸配列。

【図6】 HMAb 503の重鎖の可変領域 ( $V_H$ ) のヌクレオチドおよびアミノ酸配列。

【配列表】

SEQUENCE LISTING

<110> Connex - Gesellschaft zur Optimierung von Forschung und Entwicklung mbH  
<110> INSTITUT NATIONAL DE LA SANTE ET DE LA RECHERCHE MEDICALE (I.N.S.E.R.M.)

10

<120> Anti Hepatitis C virus antibody and uses thereof

<130> B3070PCT

<150> EP 98 11 35 95.7

<151> 1998-07-21

<160> 6

<170> PatentIn Ver. 2.1

<210> 1

<211> 324

<212> DNA

<213> Homo sapiens

20

<220>

<221> CDS

<222> (1)...(324)

<400> 1

tct tac gag ctc acg cag ccg ccc tcc gtg tca gtg tcc cca gga cag  
Ser Tyr Glu Leu Thr Gln Pro Pro Ser Val Ser Val Ser Pro Gly Gln  
1 5 10 15

48

acg gcc agg atc acc tgc tct gga gat gca ttg cca aag caa tat gct  
Thr Ala Arg Ile Thr Cys Ser Gly Asp Ala Leu Pro Lys Gln Tyr Ala  
20 25 30

96

tac tgg tat cag cag aag cca ggc cag gcc cct gtg ttg gtg ata tat  
Tyr Trp Tyr Gln Gln Lys Pro Gly Gln Ala Pro Val Leu Val Ile Tyr  
35 40 45

144

30

aaa gat aat gag agg ccc tca ggg atc cct gag cga ttc tct ggc tcc  
Lys Asp Asn Glu Arg Pro Ser Gly Ile Pro Glu Arg Phe Ser Gly Ser  
50 55 60

192

agg tca ggg aca aca gtc acg ttg acc atc agt gga gtc cag gca gaa  
Arg Ser Gly Thr Thr Val Thr Leu Thr Ile Ser Gly Val Gln Ala Glu  
65 70 75 80

240

gac gag gct gac tat tac tgt caa tca gca gac agc agt ggt tct tcc  
Asp Glu Ala Asp Tyr Tyr Cys Gln Ser Ala Asp Ser Ser Gly Ser Ser  
85 90 95

288

tgg gtg ttc ggc gga ggg acc aag ctg acc gtc cta  
Trp Val Phe Gly Gly Thr Lys Leu Thr Val Leu  
100 105

324

40

<210> 2

<211> 108

<212> PRT

<213> Homo sapiens

<400> 2

Ser Tyr Glu Leu Thr Gln Pro Pro Ser Val Ser Val Ser Pro Gly Gln  
1 5 10 15

Thr Ala Arg Ile Thr Cys Ser Gly Asp Ala Leu Pro Lys Gln Tyr Ala  
 20 25 30

Tyr Trp Tyr Gln Gin Lys Pro Gly Gln Ala Pro Val Leu Val Ile Tyr  
 35 40 45

Lys Asp Asn Glu Arg Pro Ser Gly Ile Pro Glu Arg Phe Ser Gly Ser  
 50 55 60

Arg Ser Gly Thr Thr Val Thr Leu Thr Ile Ser Gly Val Gln Ala Glu  
 65 70 75 80

Asp Glu Ala Asp Tyr Tyr Cys Gln Ser Ala Asp Ser Ser Gly Ser Ser  
 85 90 95

Trp Val Phe Gly Gly Thr Lys Leu Thr Val Leu  
 100 105

10

<210> 3  
 <211> 351  
 <212> DNA  
 <213> Homo sapiens

<220>  
 <221> CDS  
 <222> (1)..(351)

<400> 3 20

cag	gtg	cag	cta	cag	cag	tgg	ggc	gca	gga	ctg	ttg	aag	cct	tcg	gag	48
Gln	Val	Gln	Leu	Gln	Trp	Gly	Ala	Gly	Leu	Leu	Lys	Pro	Ser	Glu		
1		5					10				15					

acc ctg tcc ctc acc tgc gct gtc tat ggt ggg tcc tta agt ggt tac 96

Thr	Leu	Ser	Leu	Thr	Cys	Ala	Val	Tyr	Gly	Ser	Leu	Ser	Gly	Tyr	
20				25					30						

ttc tgg acc tgg atc cgc cag tcc ccc ggg aag ggg ctg gag tgg att 144

Phe	Trp	Thr	Trp	Ile	Arg	Gln	Ser	Pro	Gly	Lys	Gly	Leu	Glu	Trp	Ile	
35				40				45								

ggg gaa agc aat tat agt gga agt acc agg tac aac ccg tcc ctc aag 192

Gly	Glu	Ser	Asn	Tyr	Ser	Gly	Ser	Thr	Arg	Tyr	Asn	Pro	Ser	Leu	Lys	
50		55				60										

agt cga gtc acc ata tca gta gac acg tcc cag aac cag ttc tcc ctg 240 30

Ser	Arg	Val	Thr	Ile	Ser	Val	Asp	Thr	Ser	Gln	Asn	Gln	Phe	Ser	Leu	
65		70		75			80									

aag ctg agc tct gtg acc gcc gcg gac acg gct gta tat tac tgt gcg 288

Lys	Leu	Ser	Ser	Val	Thr	Ala	Ala	Asp	Thr	Ala	Val	Tyr	Tyr	Cys	Ala	
85				90				95								

aga ggt tgg gcg gtg gac ggt atg gac gtc tgg ggc caa ggg acc acg 336

Arg	Gly	Trp	Ala	Val	Asp	Gly	Met	Asp	Val	Trp	Gly	Gln	Gly	Thr	Thr	
100				105			110									

gtc acc gtc tcc tca 351

Val	Thr	Val	Ser	Ser												
115																

40

<210> 4  
 <211> 117  
 <212> PRT  
 <213> Homo sapiens

<400> 4  
 Gln Val Gln Leu Gln Gln Trp Gly Ala Gly Leu Leu Lys Pro Ser Glu  
 1 5 10 15

Thr Leu Ser Leu Thr Cys Ala Val Tyr Gly Gly Ser Leu Ser Gly Tyr  
 20 25 30

Phe Trp Thr Trp Ile Arg Gln Ser Pro Gly Lys Gly Leu Glu Trp Ile  
 35 40 45

Gly Glu Ser Asn Tyr Ser Gly Ser Thr Arg Tyr Asn Pro Ser Leu Lys  
 50 55 60

Ser Arg Val Thr Ile Ser Val Asp Thr Ser Gln Asn Gln Phe Ser Leu  
 65 70 75 80

Lys Leu Ser Ser Val Thr Ala Ala Asp Thr Ala Val Tyr Tyr Cys Ala  
 85 90 95

Arg Gly Trp Ala Val Asp Gly Met Asp Val Trp Gly Gln Gly Thr Thr  
 100 105 110

Val Thr Val Ser Ser  
 115

10

20

<210> 5  
 <211> 324  
 <212> DNA  
 <213> Homo sapiens

<220>  
 <221> CDS  
 <222> (1)...(324)

<400> 5  
 tcc tct gag ctg aca cag cca ccc tcg gtg tca gtg tcc cca gga cag 48  
 Ser Ser Glu Leu Thr Gln Pro Pro Ser Val Ser Val Ser Pro Gly Gln  
 1 5 10 15

30

acg gcc agg atc acc tgc tct gga gat gca ttg cca aag caa tat gct 96  
 Thr Ala Arg Ile Thr Cys Ser Gly Asp Ala Leu Pro Lys Gln Tyr Ala  
 20 25 30

tac tgg tat cag cag aag cca ggc cag gcc cct gtg ttg gtg ata tat 144  
 Tyr Trp Tyr Gln Gln Lys Pro Gly Gln Ala Pro Val Leu Val Ile Tyr  
 35 40 45

aaa gat aat gag agg ccc tca ggg atc cct gag cga ttc tct ggc tcc 192  
 Lys Asp Asn Glu Arg Pro Ser Gly Ile Pro Glu Arg Phe Ser Gly Ser  
 50 55 60

agg tca ggg aca aca gtc acg ttg acc atc aat gga gtc cag gca gaa 240  
 Arg Ser Gly Thr Thr Val Thr Leu Thr Ile Ser Gly Val Gln Ala Glu  
 65 70 75 80

40

```

gac gag gct gac tat tac tgt caa tca gca gac agc agt ggt tct tcc 288
Asp Glu Ala Asp Tyr Tyr Cys Gln Ser Ala Asp Ser Ser Gly Ser Ser
85 . 90 95

tgg gtg ttc ggc gga ggg acc aag ctg acc gtc cta 324
Trp Val Phe Gly Gly Gly Thr Lys Leu Thr Val Leu
100 105

<210> 6
<211> 108
<212> PRT
<213> Homo sapiens

<400> 6 10
Ser Ser Glu Leu Thr Gln Pro Pro Ser Val Ser Val Ser Pro Gly Gln
1 5 10 15

Thr Ala Arg Ile Thr Cys Ser Gly Asp Ala Leu Pro Lys Gln Tyr Ala
20 25 30

Tyr Trp Tyr Gln Gln Lys Pro Gly Gln Ala Pro Val Leu Val Ile Tyr
35 40 45

Lys Asp Asn Glu Arg Pro Ser Gly Ile Pro Glu Arg Phe Ser Gly Ser
50 55 60

Arg Ser Gly Thr Thr Val Thr Leu Thr Ile Ser Gly Val Gln Ala Glu
65 70 75 80

Asp Glu Ala Asp Tyr Tyr Cys Gln Ser Ala Asp Ser Ser Gly Ser Ser 20
85 90 95

Trp Val Phe Gly Gly Gly Thr Lys Leu Thr Val Leu
100 105

```

(  1 )

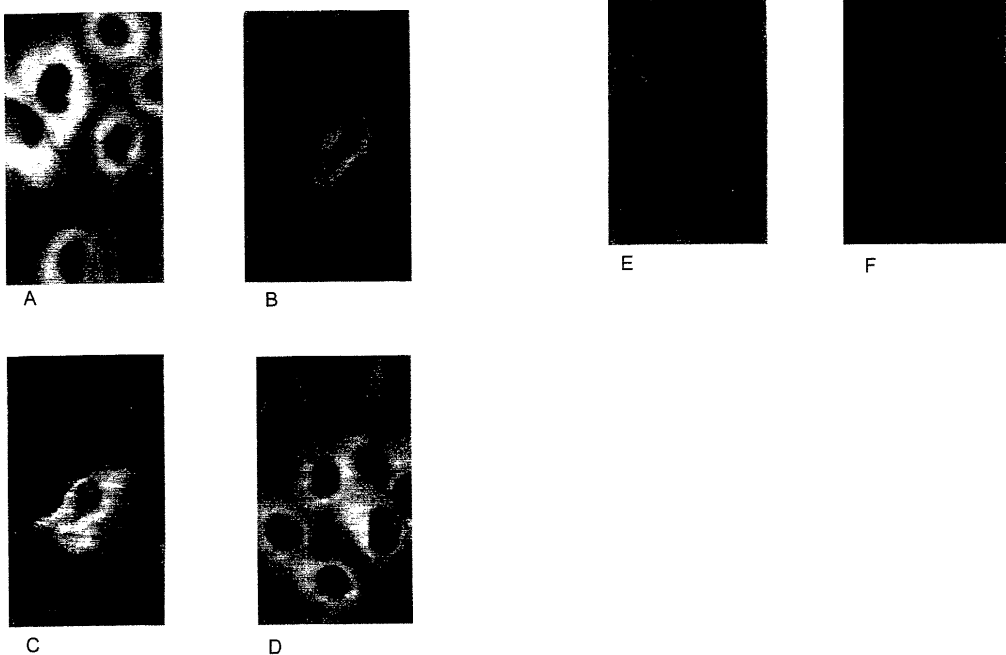
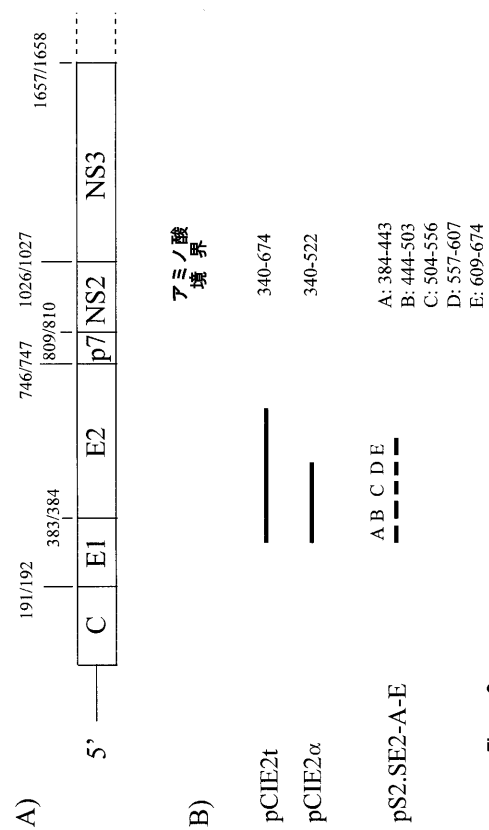


Figure 1 continued

Figure 1

【図2】



【図3】

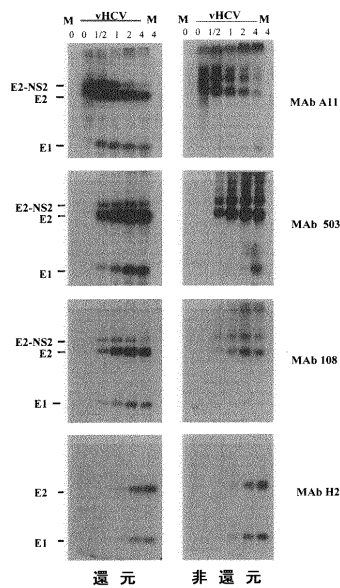
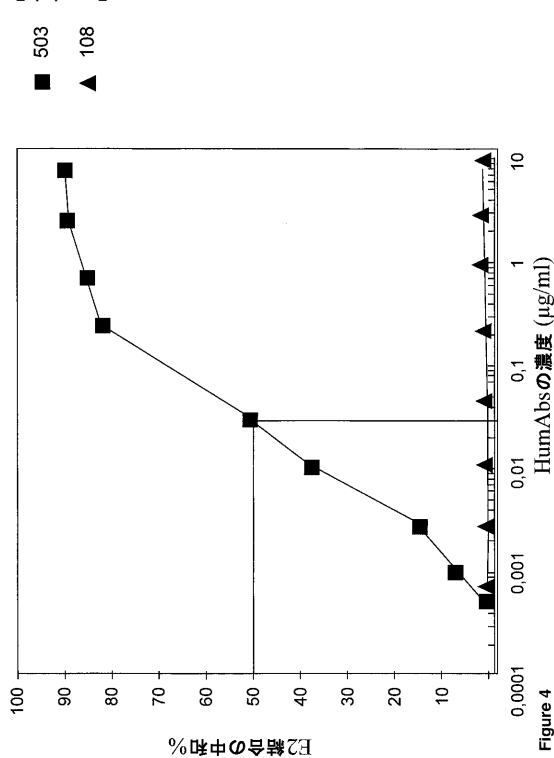


Figure 3

【図4】



【図5】

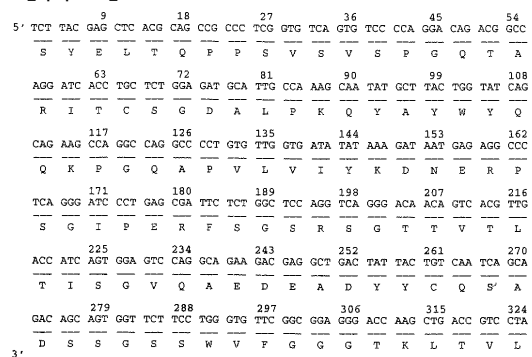


Figure 5

【図6】

5' CAG STG CAG CTA CAG CAG TGG GGC GCA GGA CTG TTG AAG CCT TCG GAG ACC CTG  
 9 18 27 36 45 54  
 Q V Q L Q Q W G A G L L K P S E T L  
 63 72 81 90 99 108  
 TCC CTC ACC TGC GCT GTC TAT GGT GGG TCC TTA AGT GGT TAC TTC TGG ACC TGG  
 S L T C A V Y G G S L S G Y F W T W  
 117 126 135 144 153 162  
 ATC CGG CAG TCC CCC GGG AAG GGG CTG GAG TGG ATT GGG GAA AGC AAT TAT AGT  
 I R Q S P G K G L E W I G E S N Y S  
 171 180 189 198 207 216  
 GGA AGT ACC AGG TAC AAC CCG TCC CTC AAG AGT CGA GTC ACC ATA TCA GTA GAC  
 G S T R Y N P S L K S R V T I S V D  
 225 234 243 252 261 270  
 ACG TCC CAG AAC CAG TTC TCC CTG AAG CTG AGC TCT GTG ACC GCC GCG GAC AGC  
 T S Q N Q F S L K L S S V T A A D T  
 279 288 297 306 315 324  
 GCT GTA TAT TAC TGT GCG AGA GGT TGG GCG GTG GAC GGT ATG GAC GTC TGG GGC  
 A V Y C A R G W A V D G M D V W G  
 333 342 351  
 CAA GGG ACC ACG GTC ACC GTC TCC TCA 3'  
 Q G T T V T V S S

Figure 6

## フロントページの続き

(51)Int.Cl.		F I
C 1 2 N	5/10 (2006.01)	C 1 2 N 5/00 1 0 1
C 1 2 P	21/02 (2006.01)	C 1 2 P 21/02 C
A 6 1 K	39/29 (2006.01)	A 6 1 K 39/29
A 6 1 P	31/14 (2006.01)	A 6 1 P 31/14
G 0 1 N	33/53 (2006.01)	G 0 1 N 33/53 V
G 0 1 N	33/569 (2006.01)	G 0 1 N 33/569 L
G 0 1 N	33/576 (2006.01)	G 0 1 N 33/576 Z

(73)特許権者 592236234

アンスティテュ・ナシオナル・ドゥ・ラ・サンテ・エ・ドゥ・ラ・ルシェルシュ・メディカル・  
(イ・エヌ・エス・ウ・エール・エム)  
INSTITUT NATIONAL DE LA SANTE ET DE LA RECHERCHE  
MÉDICALE (I.N.S.E.R.M.)  
フランス 75654 パリ・セデックス 13、リュ・ドゥ・トルビアック 101 番

(74)代理人 100068526

弁理士 田村 恭生

(74)代理人 100100158

弁理士 鮫島 瞳

(74)代理人 100126778

弁理士 品川 永敏

(74)代理人 100150500

弁理士 森本 靖

(74)代理人 100156111

弁理士 山中 伸一郎

(74)代理人 100162695

弁理士 釜平 双美

(72)発明者 クリストイアン・ライター

ドイツ連邦共和国 - 85757 カールスフェルト、ラートハウスシュトラーセ 8 番

(72)発明者 フランソワ・ハベルセツツァー

フランス、エフ - 67400 イルキルシュ - グラッフェンスター - デン、リュ・ドゥ・プロヴァンス  
2 番

(72)発明者 アンヌ・フルニリエ

フランス、エフ - 69003 リヨン、リュ・デュ・ブル・シシリ - 6 番

(72)発明者 クリストイアン・トレボ

フランス、エフ - 69500 ブロン、パッサージュ・デュ・ヴェルディエ・スッド 4 番

(72)発明者 クロード・デスグランジェ

フランス、エフ - 75013 パリ、ビス・アヴニュ・ドゥ・ショワジ 129 番

(72)発明者 ジェネヴィエーヴ・アンシャスペ

フランス、エフ - 69003 リヨン、リュ・ヴィヨン 4 番

審査官 戸来 幸男

(56)参考文献 国際公開第 97 / 040176 (WO, A1)

J. Virol., 1997 年, vol.71, no.1, p.697-704

Hepatology, 1996 年, vol.24, no.4, p.381A[1020]

Proc. Natl. Acad. Sci. U.S.A., 1996 年, vol.93, no.5, p.1759-1763

(58)調査した分野(Int.Cl. , DB名)

C07K 16/00-16/46

C12N 15/00-15/90

CA/BIOSIS/MEDLINE/WPIDS(STN)

JSTPlus/JMEDPlus/JST7580(JDreamII)

PubMed